

Ein und Ausgabe: Farbmetrisches Fernseh-Lichtfarben-System TLS18a für relativen CIELAB-Buntton $h^* = lab^*h^* = h_{ab}/360 = 0.097$

Daten für jede Farbe:

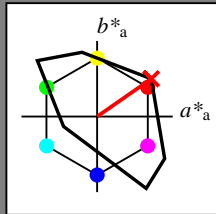
$lab^*_{tch^*}$ und $lab^*_{ncu^*}$

Geräte- und Elementar-

Bunttontext:

$d^* = o00y$ $u^* = r14j$

Dreiecks-Helligkeit t^*



TLS18a; adaptierte CIELAB-Daten					
Name	L^*_a	a^*_a	b^*_a	$C^*_{ab,a}$	$h^*_{ab,a}$
O _{Ma}	52.76	71.63	49.88	87.29	35
Y _{Ma}	92.74	-20.03	84.97	87.3	103
L _{Ma}	84.0	-78.99	73.94	108.2	137
C _{Ma}	87.14	-44.42	-13.12	46.32	196
V _{Ma}	35.47	64.92	-95.07	115.12	304
M _{Ma}	59.01	89.33	-55.68	105.26	328
N _{Ma}	18.01	0.0	0.0	0.0	0
W _{Ma}	95.41	0.0	0.0	0.0	0
O _{Ma}	39.92	58.74	27.99	65.07	25
Y _{Ma}	81.26	-2.89	71.56	71.62	92
L _{Ma}	52.23	-42.42	13.6	44.55	162
V _{Ma}	30.57	1.41	-46.47	46.49	272

Daten für Maximalfarbe (Ma):

$LAB^*_{LAB^*Ma}$: 53 72 50

$LAB^*_{LCH^*Ma}$: 53 87 34

$lab^*_{olv^*Ma}$: 1.0 0.0 0.0

$lab^*_{rgb^*Ma}$: 1.0 0.14 0.0

Dreiecks-Helligkeit t^*

%Umfang

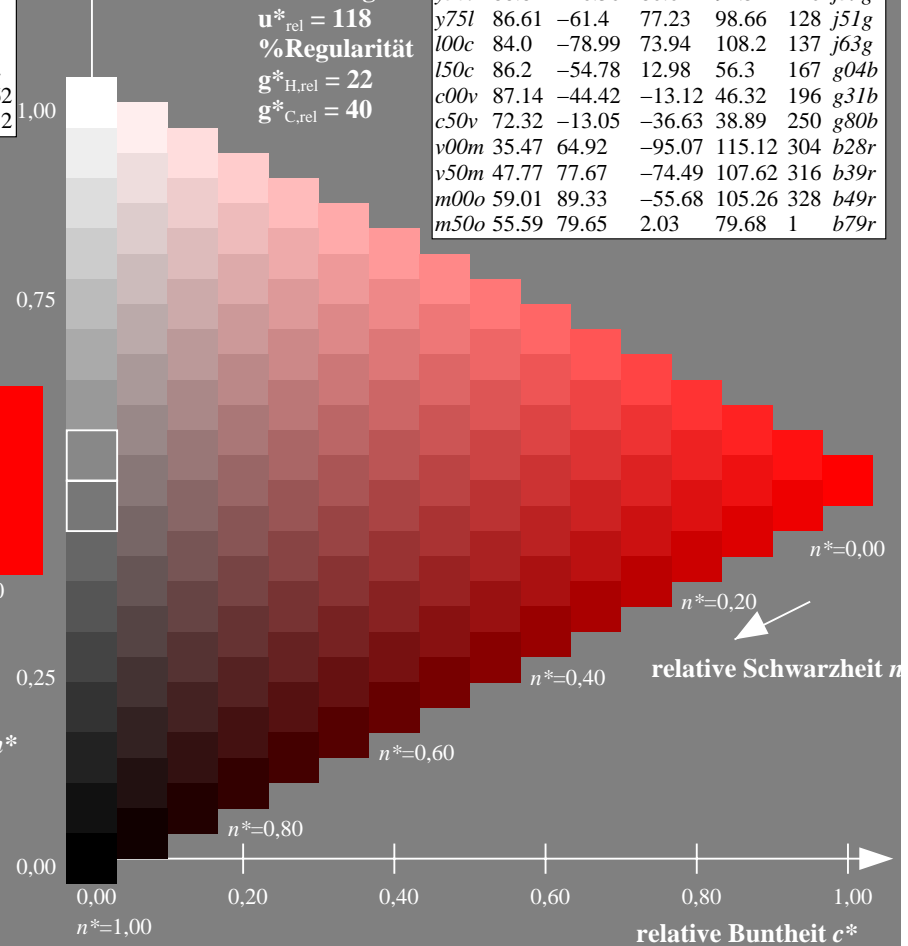
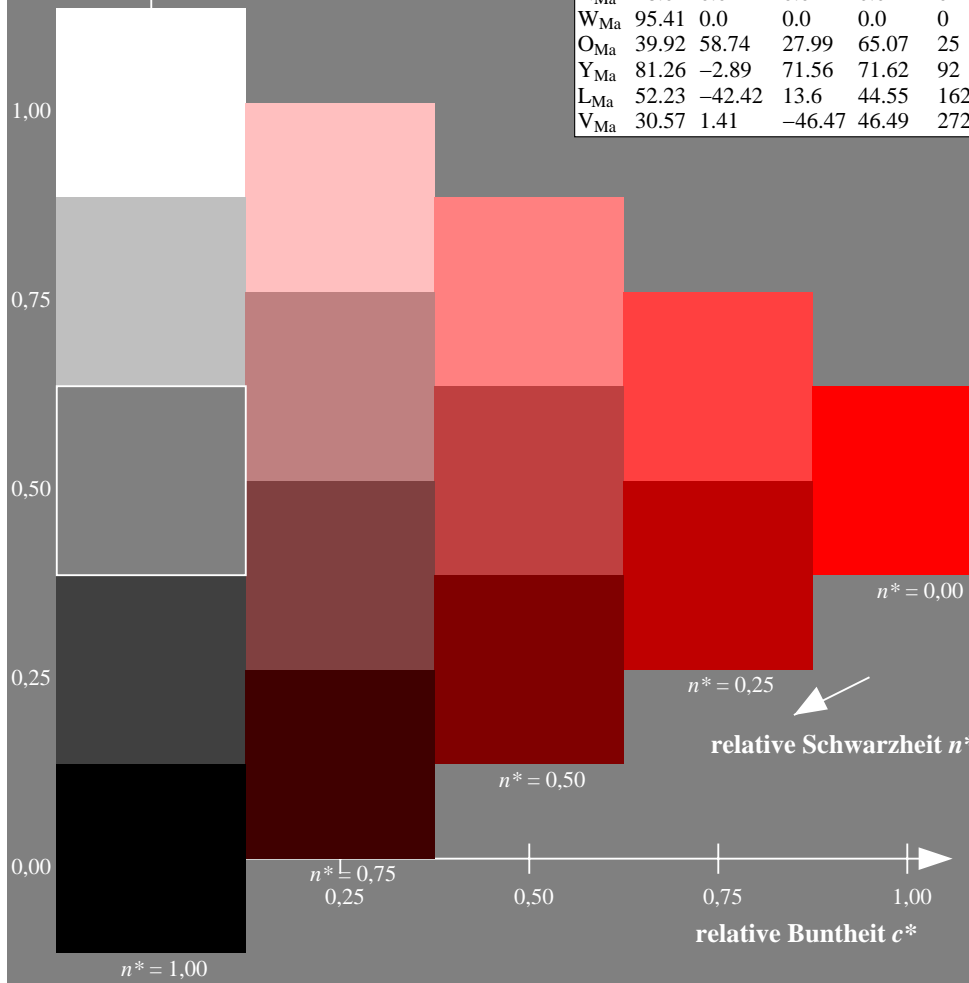
$u^*_{rel} = 118$

%Regularität

$g^*_{H,rel} = 22$

$g^*_{C,rel} = 40$

TLS18a; adaptierte CIELAB-Daten						
d^*	L^*_a	a^*_a	b^*_a	$C^*_{ab,a}$	$h^*_{ab,a}$	u^*
<i>o00y</i>	52.76	71.63	49.88	87.29	35	<i>r14j</i>
<i>o25y</i>	63.7	46.55	59.48	75.53	52	<i>r39j</i>
<i>o50y</i>	72.75	25.8	67.42	72.19	69	<i>r65j</i>
<i>o75y</i>	81.8	5.06	75.37	75.54	86	<i>r90j</i>
<i>y00l</i>	92.74	-20.03	84.97	87.3	103	<i>j15g</i>
<i>y25l</i>	90.85	-32.81	82.58	88.86	112	<i>j27g</i>
<i>y50l</i>	88.84	-46.36	80.04	92.5	120	<i>j39g</i>
<i>y75l</i>	86.61	-61.4	77.23	98.66	128	<i>j51g</i>
<i>l00c</i>	84.0	-78.99	73.94	108.2	137	<i>j63g</i>
<i>l50c</i>	86.2	-54.78	12.98	56.3	167	<i>g04b</i>
<i>c00v</i>	87.14	-44.42	-13.12	46.32	196	<i>g31b</i>
<i>c50v</i>	72.32	-13.05	-36.63	38.89	250	<i>g80b</i>
<i>v00m</i>	35.47	64.92	-95.07	115.12	304	<i>b28r</i>
<i>v50m</i>	47.77	77.67	-74.49	107.62	316	<i>b39r</i>
<i>m00o</i>	59.01	89.33	-55.68	105.26	328	<i>b49r</i>
<i>m50o</i>	55.59	79.65	2.03	79.68	1	<i>b79r</i>



Ein und Ausgabe: Farbmetrisches Fernseh-Lichtfarben-System TLS18a für relativen CIELAB-Buntton $h^* = lab^*h^* = h_{ab}/360 = 0.144$

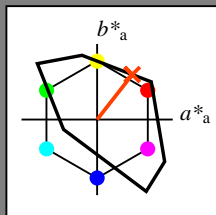
Daten für jede Farbe:

$lab^*_{tch^*}$ und $lab^*_{ncu^*}$

Geräte- und Elementar-

Bunttontext:

$d^* = o25y$ $u^* = r39j$



TLS18a; adaptierte CIELAB-Daten					
Name	L^*_a	a^*_a	b^*_a	$C^*_{ab,a}$	$h^*_{ab,a}$
O _{Ma}	52.76	71.63	49.88	87.29	35
Y _{Ma}	92.74	-20.03	84.97	87.3	103
L _{Ma}	84.0	-78.99	73.94	108.2	137
C _{Ma}	87.14	-44.42	-13.12	46.32	196
V _{Ma}	35.47	64.92	-95.07	115.12	304
M _{Ma}	59.01	89.33	-55.68	105.26	328
N _{Ma}	18.01	0.0	0.0	0.0	0
W _{Ma}	95.41	0.0	0.0	0.0	0
O _{Ma}	39.92	58.74	27.99	65.07	25
Y _{Ma}	81.26	-2.89	71.56	71.62	92
L _{Ma}	52.23	-42.42	13.6	44.55	162
V _{Ma}	30.57	1.41	-46.47	46.49	272

Daten für Maximalfarbe (Ma):

$LAB^*_{LAB^*Ma}$: 64 47 59

$LAB^*_{LCH^*Ma}$: 64 76 51

$lab^*_{olv^*Ma}$: 1.0 0.25 0.0

$lab^*_{rgb^*Ma}$: 1.0 0.4 0.0

Dreiecks-Helligkeit t^*

%Umfang

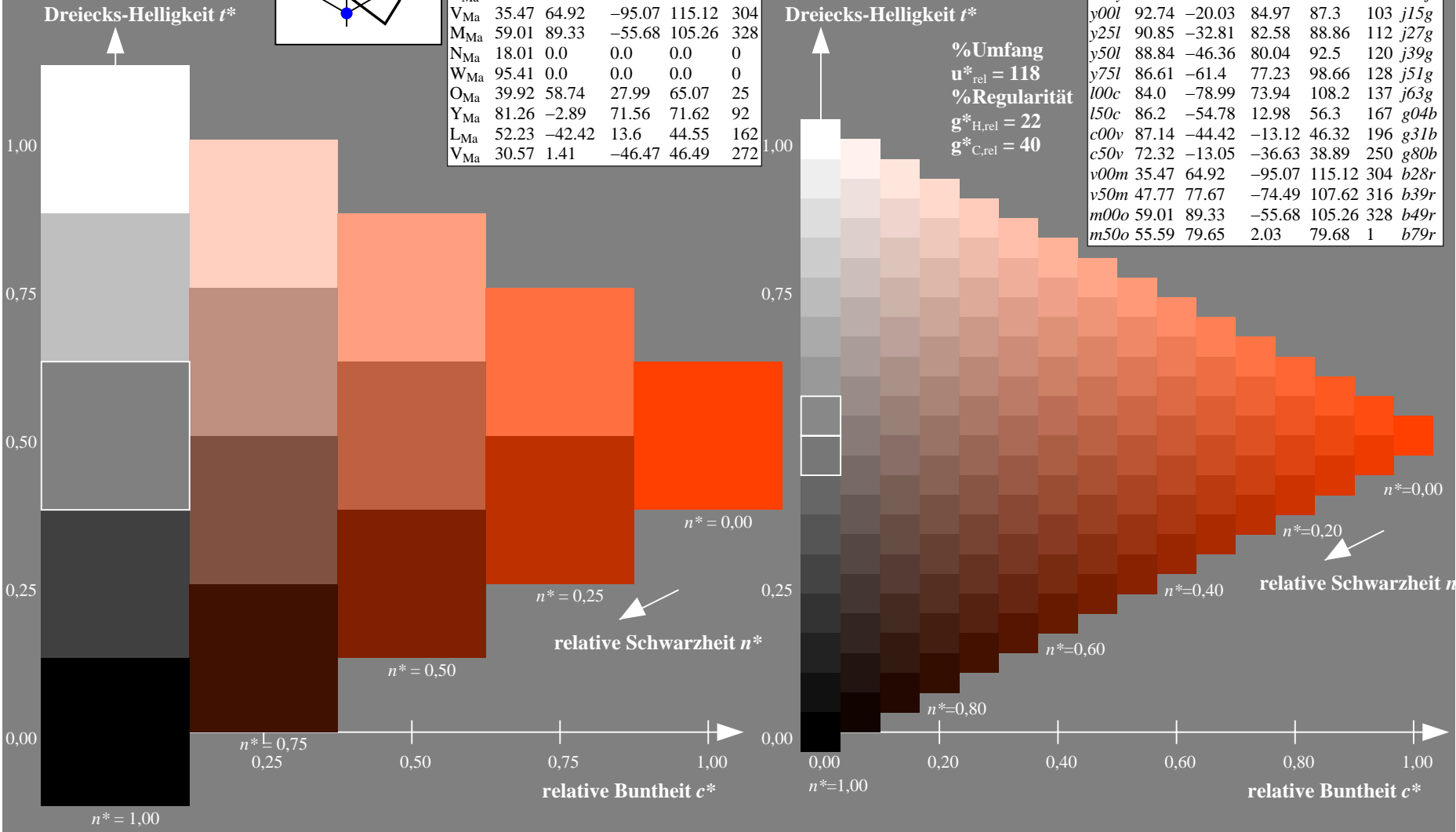
$u^*_{rel} = 118$

%Regularität

$g^*_{H,rel} = 22$

$g^*_{C,rel} = 40$

TLS18a; adaptierte CIELAB-Daten					
d^*	L^*_a	a^*_a	b^*_a	$C^*_{ab,a}$	$h^*_{ab,a}$
o00y	52.76	71.63	49.88	87.29	35
o25y	63.7	46.55	59.48	75.53	52
o50y	72.75	25.8	67.42	72.19	69
o75y	81.8	5.06	75.37	75.54	86
y00l	92.74	-20.03	84.97	87.3	103
y25l	90.85	-32.81	82.58	88.86	112
y50l	88.84	-46.36	80.04	92.5	120
y75l	86.61	-61.4	77.23	98.66	128
l00c	84.0	-78.99	73.94	108.2	137
l50c	86.2	-54.78	12.98	56.3	167
c00v	87.14	-44.42	-13.12	46.32	196
c50v	72.32	-13.05	-36.63	38.89	250
v00m	35.47	64.92	-95.07	115.12	304
v50m	47.77	77.67	-74.49	107.62	316
m00o	59.01	89.33	-55.68	105.26	328
m50o	55.59	79.65	2.03	79.68	1



Ein und Ausgabe: Farbmatisches Fernseh-Lichtfarben-System TLS18a für relativen CIELAB-Buntton $h^* = lab^*h^* = h_{ab}/360 = 0.192$

Daten für jede Farbe:

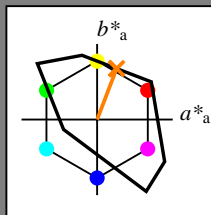
lab^*tch^* und lab^*ncu^*

Geräte- und Elementar-

Bunttontext:

$d^* = o50y$ $u^* = r65j$

Dreiecks-Helligkeit t^*



TLS18a; adaptierte CIELAB-Daten					
Name	L^*_a	a^*_a	b^*_a	$C^*_{ab,a}$	$h^*_{ab,a}$
O _{Ma}	52.76	71.63	49.88	87.29	35
Y _{Ma}	92.74	-20.03	84.97	87.3	103
L _{Ma}	84.0	-78.99	73.94	108.2	137
C _{Ma}	87.14	-44.42	-13.12	46.32	196
V _{Ma}	35.47	64.92	-95.07	115.12	304
M _{Ma}	59.01	89.33	-55.68	105.26	328
N _{Ma}	18.01	0.0	0.0	0.0	0
W _{Ma}	95.41	0.0	0.0	0.0	0
O _{Ma}	39.92	58.74	27.99	65.07	25
Y _{Ma}	81.26	-2.89	71.56	71.62	92
L _{Ma}	52.23	-42.42	13.6	44.55	162
V _{Ma}	30.57	1.41	-46.47	46.49	272

Daten für Maximalfarbe (Ma):

$LAB^*LAB^*_{Ma}$: 73 26 67

$LAB^*LCH^*_{Ma}$: 73 72 69

$lab^*olv^*_{Ma}$: 1.0 0.5 0.0

$lab^*rgb^*_{Ma}$: 1.0 0.65 0.0

Dreiecks-Helligkeit t^*

%Umfang

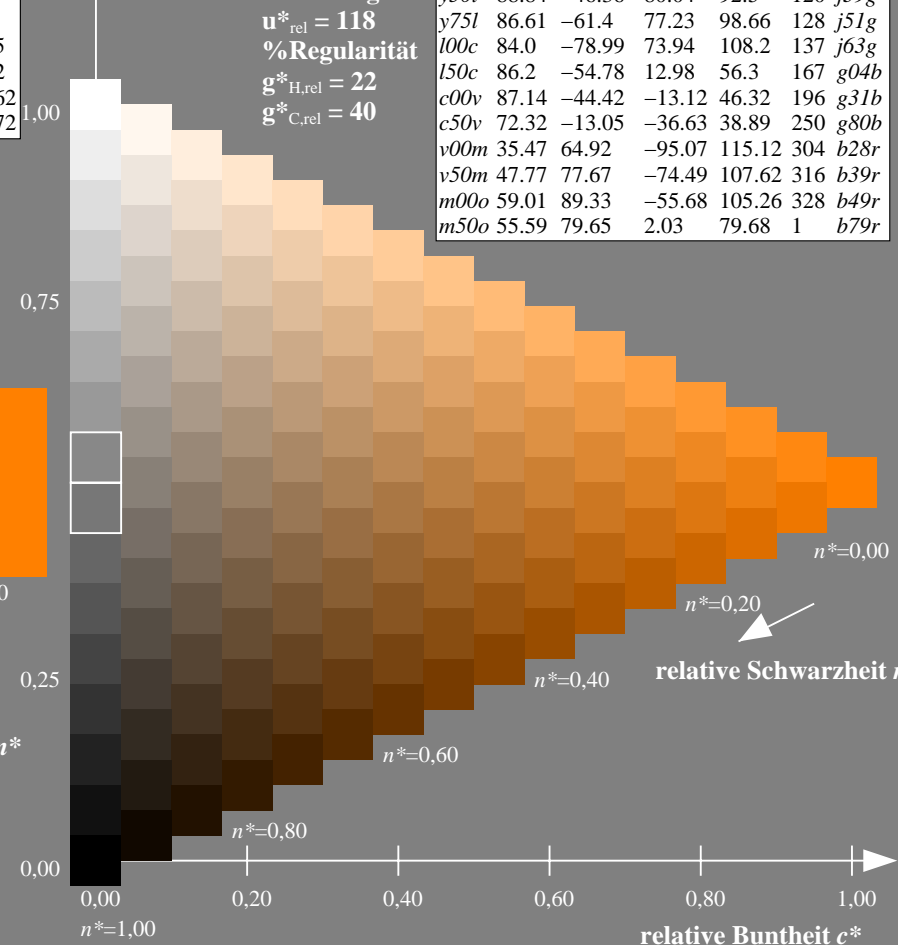
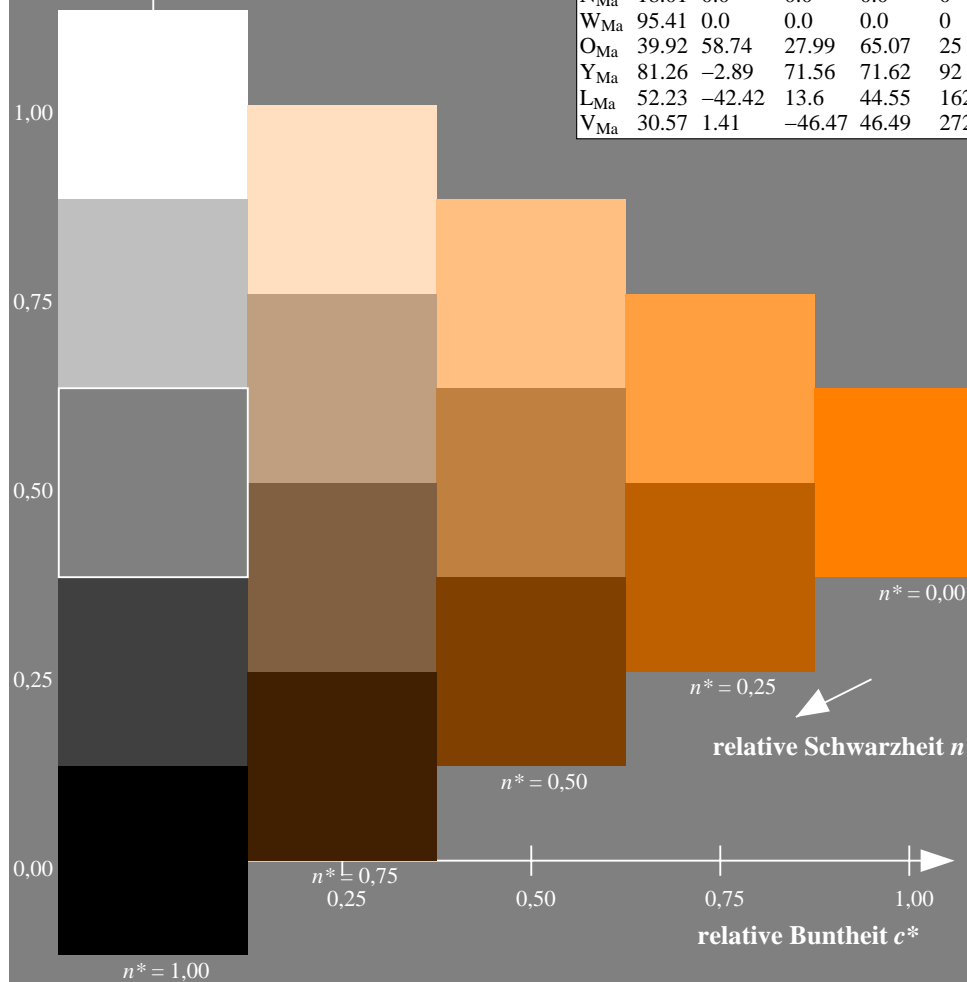
$u^*_{rel} = 118$

%Regularität

$g^*_{H,rel} = 22$

$g^*_{C,rel} = 40$

TLS18a; adaptierte CIELAB-Daten						
d^*	L^*_a	a^*_a	b^*_a	$C^*_{ab,a}$	$h^*_{ab,a}$	u^*
o00y	52.76	71.63	49.88	87.29	35	r14j
o25y	63.7	46.55	59.48	75.53	52	r39j
o50y	72.75	25.8	67.42	72.19	69	r65j
o75y	81.8	5.06	75.37	75.54	86	r90j
y00l	92.74	-20.03	84.97	87.3	103	j15g
y25l	90.85	-32.81	82.58	88.86	112	j27g
y50l	88.84	-46.36	80.04	92.5	120	j39g
y75l	86.61	-61.4	77.23	98.66	128	j51g
l00c	84.0	-78.99	73.94	108.2	137	j63g
l50c	86.2	-54.78	12.98	56.3	167	g04b
c00v	87.14	-44.42	-13.12	46.32	196	g31b
c50v	72.32	-13.05	-36.63	38.89	250	g80b
v00m	35.47	64.92	-95.07	115.12	304	b28r
v50m	47.77	77.67	-74.49	107.62	316	b39r
m00o	59.01	89.33	-55.68	105.26	328	b49r
m50o	55.59	79.65	2.03	79.68	1	b79r



Ein und Ausgabe: Farbmetrisches Fernseh-Lichtfarben-System TLS18a für relativen CIELAB-Buntton $h^* = lab^*h^* = h_{ab}/360 = 0.239$

Daten für jede Farbe:

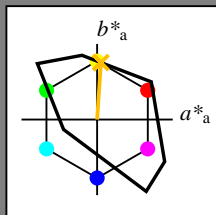
lab^*tch^* und lab^*ncu^*

Geräte- und Elementar-

Bunttontext:

$d^* = o75y$ $u^* = r90j$

Dreiecks-Helligkeit t^*



TLS18a; adaptierte CIELAB-Daten						
Name	L^*_a	a^*_a	b^*_a	$C^*_{ab,a}$	$h^*_{ab,a}$	
O _{Ma}	52.76	71.63	49.88	87.29	35	
Y _{Ma}	92.74	-20.03	84.97	87.3	103	
L _{Ma}	84.0	-78.99	73.94	108.2	137	
C _{Ma}	87.14	-44.42	-13.12	46.32	196	
V _{Ma}	35.47	64.92	-95.07	115.12	304	
M _{Ma}	59.01	89.33	-55.68	105.26	328	
N _{Ma}	18.01	0.0	0.0	0.0	0	
W _{Ma}	95.41	0.0	0.0	0.0	0	
O _{Ma}	39.92	58.74	27.99	65.07	25	
Y _{Ma}	81.26	-2.89	71.56	71.62	92	
L _{Ma}	52.23	-42.42	13.6	44.55	162	
V _{Ma}	30.57	1.41	-46.47	46.49	272	

Daten für Maximalfarbe (Ma):

$LAB^*LAB^*_{Ma}$: 82 5 75

$LAB^*LCH^*_{Ma}$: 82 76 86

$lab^*olv^*_{Ma}$: 1.0 0.75 0.0

$lab^*rgb^*_{Ma}$: 1.0 0.91 0.0

Dreiecks-Helligkeit t^*

%Umfang

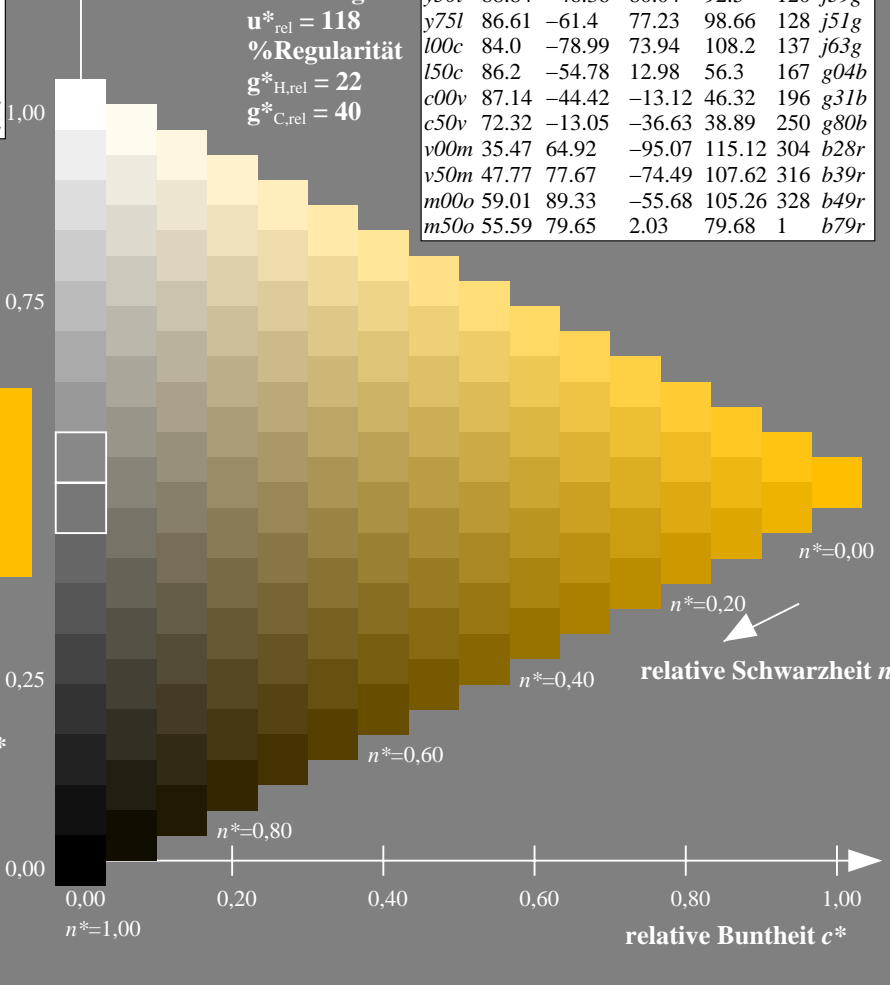
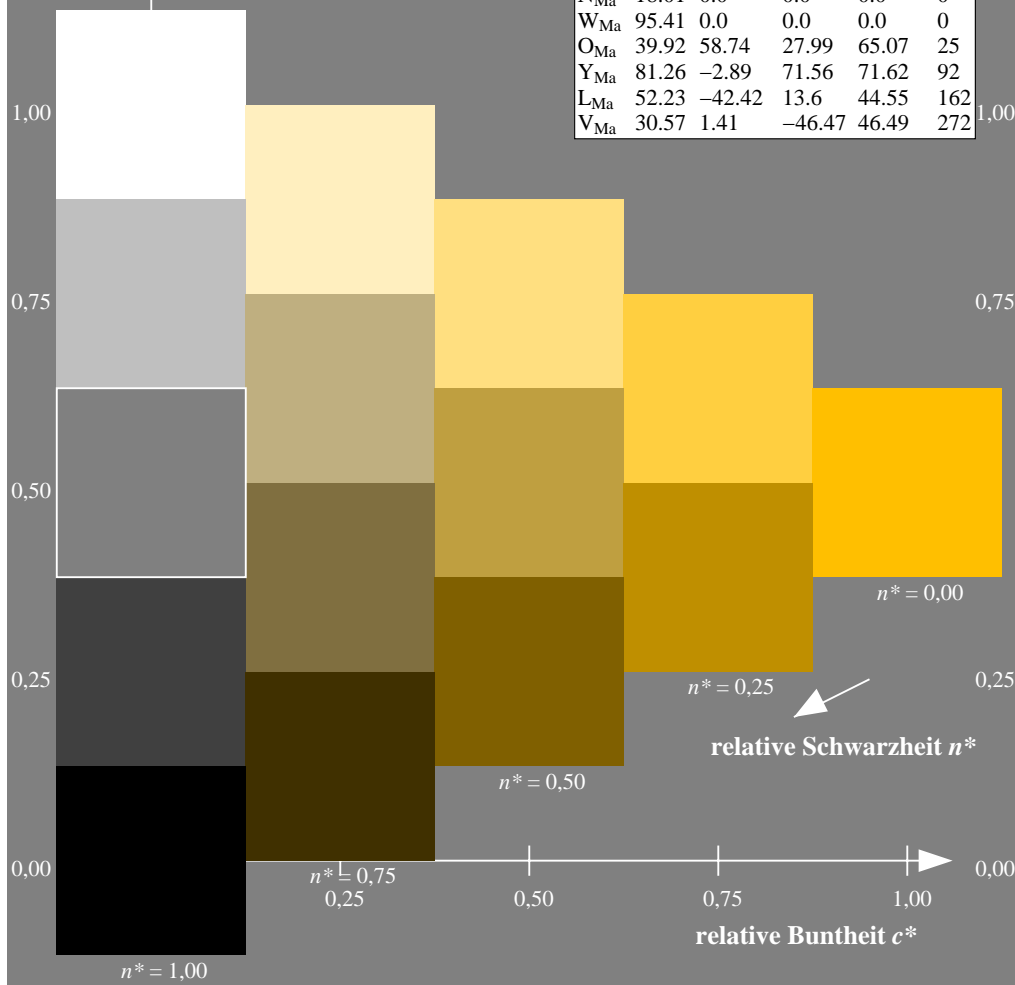
$u^*_{rel} = 118$

%Regularität

$g^*_{H,rel} = 22$

$g^*_{C,rel} = 40$

TLS18a; adaptierte CIELAB-Daten						
d^*	L^*_a	a^*_a	b^*_a	$C^*_{ab,a}$	$h^*_{ab,a}$	u^*
o00y	52.76	71.63	49.88	87.29	35	r14j
o25y	63.7	46.55	59.48	75.53	52	r39j
o50y	72.75	25.8	67.42	72.19	69	r65j
o75y	81.8	5.06	75.37	75.54	86	r90j
y00l	92.74	-20.03	84.97	87.3	103	j15g
y25l	90.85	-32.81	82.58	88.86	112	j27g
y50l	88.84	-46.36	80.04	92.5	120	j39g
y75l	86.61	-61.4	77.23	98.66	128	j51g
l00c	84.0	-78.99	73.94	108.2	137	j63g
l50c	86.2	-54.78	12.98	56.3	167	g04b
c00v	87.14	-44.42	-13.12	46.32	196	g31b
c50v	72.32	-13.05	-36.63	38.89	250	g80b
v00m	35.47	64.92	-95.07	115.12	304	b28r
v50m	47.77	77.67	-74.49	107.62	316	b39r
m00o	59.01	89.33	-55.68	105.26	328	b49r
m50o	55.59	79.65	2.03	79.68	1	b79r



Ein und Ausgabe: Farbmetrisches Fernseh-Lichtfarben-System TLS18a für relativen CIELAB-Buntton $h^* = lab^*h^* = h_{ab}/360 = 0.287$

Daten für jede Farbe:

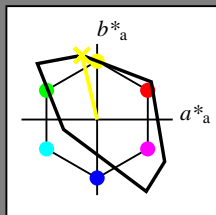
$lab^*_{tch^*}$ und $lab^*_{ncu^*}$

Geräte- und Elementar-

Bunttontext:

$d^* = y00l$ $u^* = j15g$

Dreiecks-Helligkeit t^*



TLS18a; adaptierte CIELAB-Daten					
Name	L^*_a	a^*_a	b^*_a	$C^*_{ab,a}$	$h^*_{ab,a}$
O _{Ma}	52.76	71.63	49.88	87.29	35
Y _{Ma}	92.74	-20.03	84.97	87.3	103
L _{Ma}	84.0	-78.99	73.94	108.2	137
C _{Ma}	87.14	-44.42	-13.12	46.32	196
V _{Ma}	35.47	64.92	-95.07	115.12	304
M _{Ma}	59.01	89.33	-55.68	105.26	328
N _{Ma}	18.01	0.0	0.0	0.0	0
W _{Ma}	95.41	0.0	0.0	0.0	0
O _{Ma}	39.92	58.74	27.99	65.07	25
Y _{Ma}	81.26	-2.89	71.56	71.62	92
L _{Ma}	52.23	-42.42	13.6	44.55	162
V _{Ma}	30.57	1.41	-46.47	46.49	272

Daten für Maximalfarbe (Ma):

$LAB^*_{LAB^*Ma}$: 93 -20 85

$LAB^*_{LCH^*Ma}$: 93 87 103

$lab^*_{olv^*Ma}$: 1.0 1.0 0.0

$lab^*_{rgb^*Ma}$: 0.84 1.0 0.0

Dreiecks-Helligkeit t^*

%Umfang

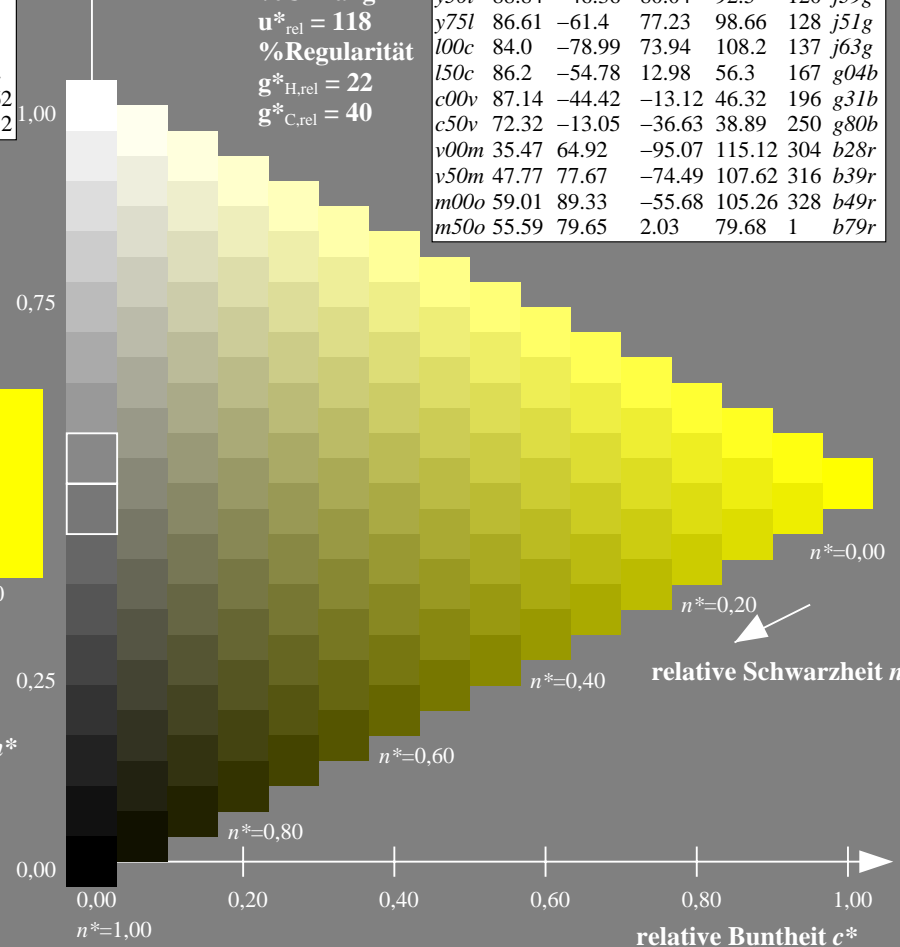
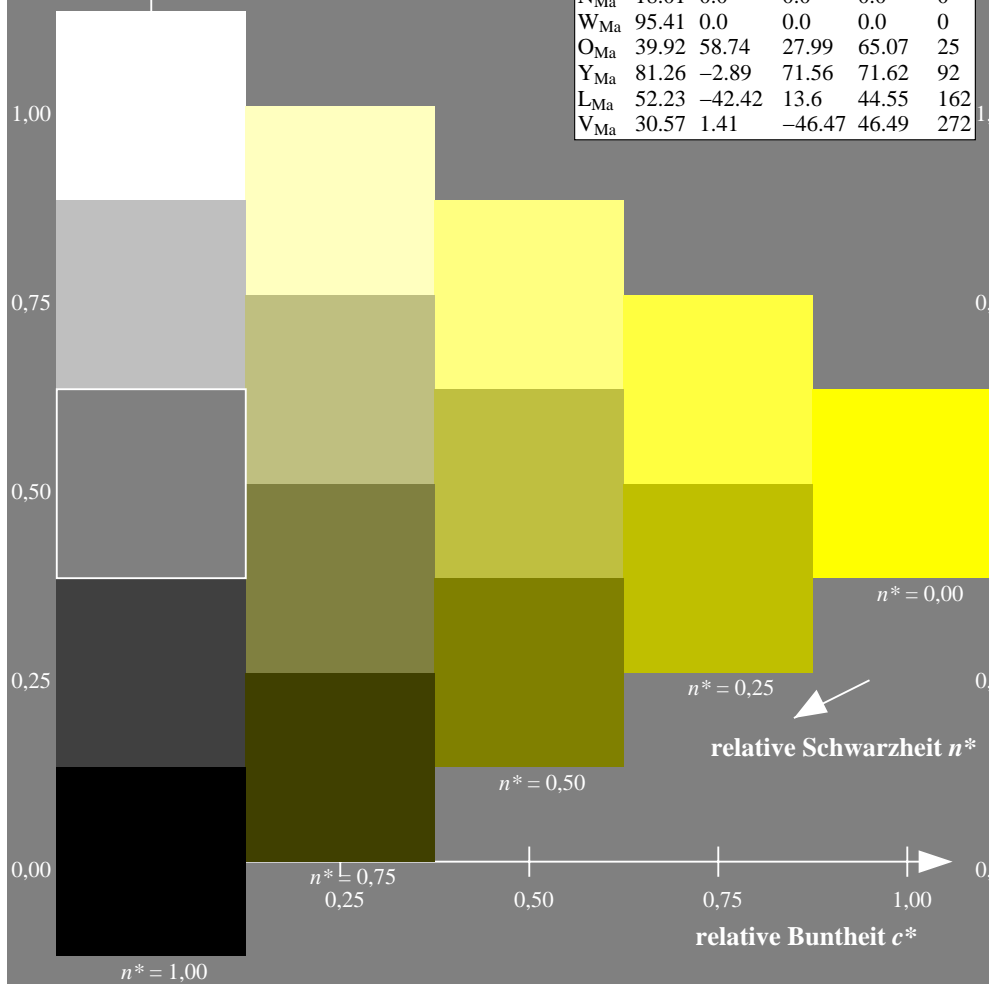
$u^*_{rel} = 118$

%Regularität

$g^*_{H,rel} = 22$

$g^*_{C,rel} = 40$

TLS18a; adaptierte CIELAB-Daten						
d^*	L^*_a	a^*_a	b^*_a	$C^*_{ab,a}$	$h^*_{ab,a}$	u^*
o00y	52.76	71.63	49.88	87.29	35	r14j
o25y	63.7	46.55	59.48	75.53	52	r39j
o50y	72.75	25.8	67.42	72.19	69	r65j
o75y	81.8	5.06	75.37	75.54	86	r90j
y00l	92.74	-20.03	84.97	87.3	103	j15g
y25l	90.85	-32.81	82.58	88.86	112	j27g
y50l	88.84	-46.36	80.04	92.5	120	j39g
y75l	86.61	-61.4	77.23	98.66	128	j51g
l00c	84.0	-78.99	73.94	108.2	137	j63g
l50c	86.2	-54.78	12.98	56.3	167	g04b
c00v	87.14	-44.42	-13.12	46.32	196	g31b
c50v	72.32	-13.05	-36.63	38.89	250	g80b
v00m	35.47	64.92	-95.07	115.12	304	b28r
v50m	47.77	77.67	-74.49	107.62	316	b39r
m00o	59.01	89.33	-55.68	105.26	328	b49r
m50o	55.59	79.65	2.03	79.68	1	b79r



Ein und Ausgabe: Farbmetrisches Fernseh-Lichtfarben-System TLS18a für relativen CIELAB-Buntton $h^* = lab^*h^* = h_{ab}/360 = 0.31$

Daten für jede Farbe:

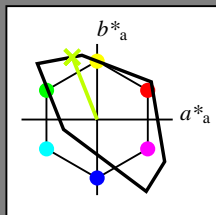
$lab^*_{tch^*}$ und $lab^*_{ncu^*}$

Geräte- und Elementar-

Bunttontext:

$d^* = y25l$ $u^* = j27g$

Dreiecks-Helligkeit t^*



TLS18a; adaptierte CIELAB-Daten						
Name	$L^* = L^*_a$	a^*_a	b^*_a	$C^*_{ab,a}$	$h^*_{ab,a}$	
O _{Ma}	52.76	71.63	49.88	87.29	35	
Y _{Ma}	92.74	-20.03	84.97	87.3	103	
L _{Ma}	84.0	-78.99	73.94	108.2	137	
C _{Ma}	87.14	-44.42	-13.12	46.32	196	
V _{Ma}	35.47	64.92	-95.07	115.12	304	
M _{Ma}	59.01	89.33	-55.68	105.26	328	
N _{Ma}	18.01	0.0	0.0	0.0	0	
W _{Ma}	95.41	0.0	0.0	0.0	0	
O _{Ma}	39.92	58.74	27.99	65.07	25	
Y _{Ma}	81.26	-2.89	71.56	71.62	92	
L _{Ma}	52.23	-42.42	13.6	44.55	162	
V _{Ma}	30.57	1.41	-46.47	46.49	272	

Daten für Maximalfarbe (Ma):

$LAB^*_{LAB^*Ma}$: 91 -33 83

$LAB^*_{LCH^*Ma}$: 91 89 111

$lab^*_{olv^*Ma}$: 0.75 1.0 0.0

$lab^*_{rgb^*Ma}$: 0.72 1.0 0.0

Dreiecks-Helligkeit t^*

%Umfang

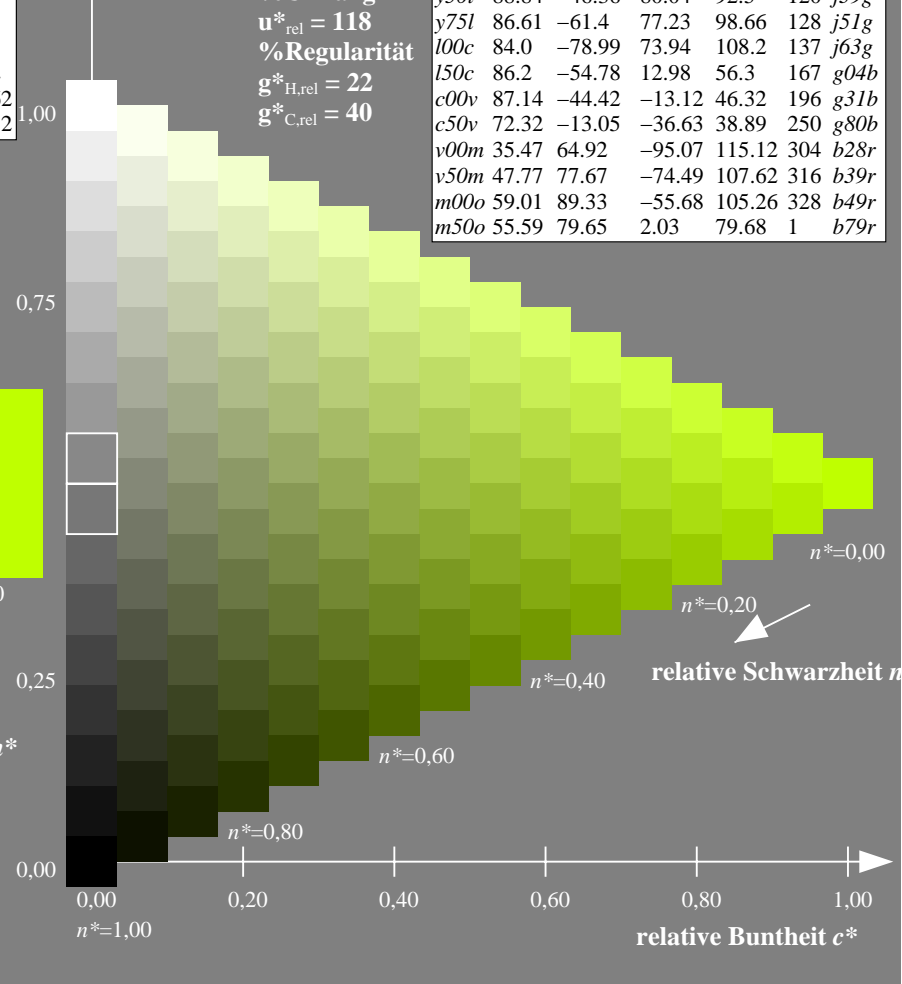
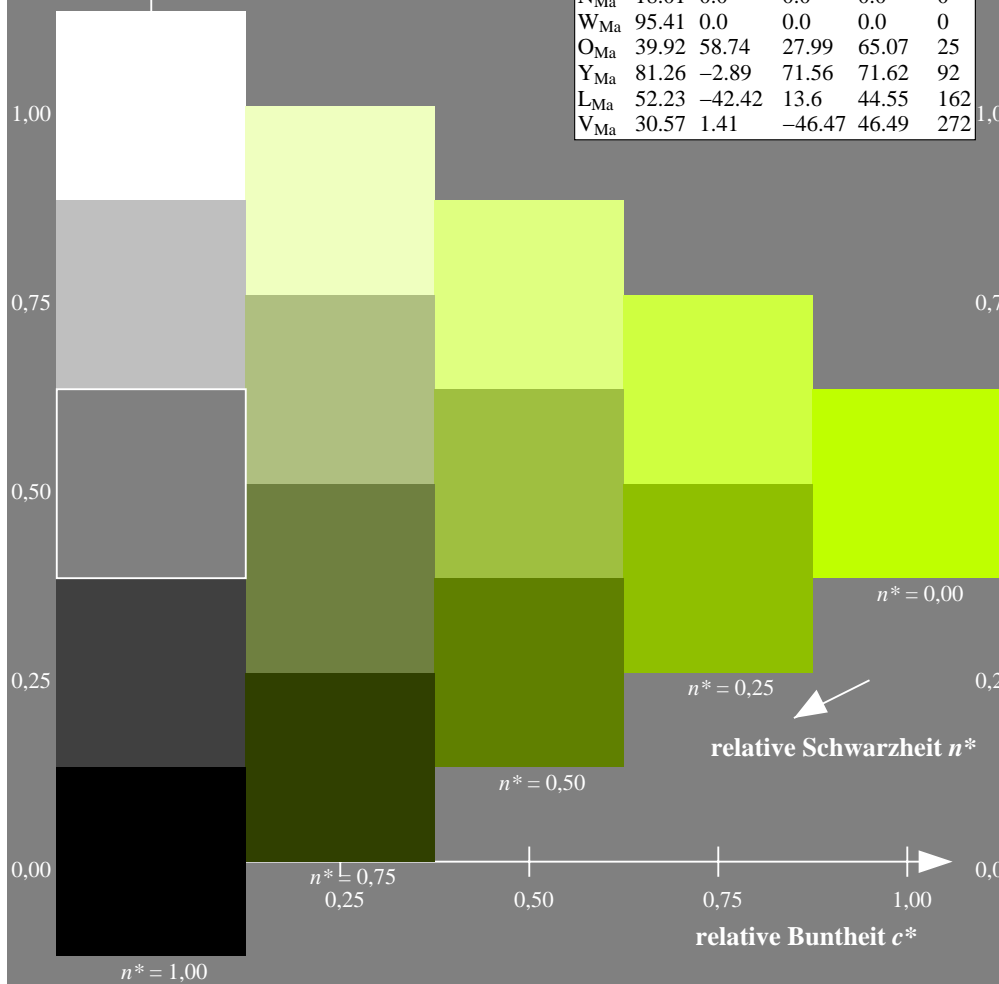
$u^*_{rel} = 118$

%Regularität

$g^*_{H,rel} = 22$

$g^*_{C,rel} = 40$

TLS18a; adaptierte CIELAB-Daten						
d^*	$L^* = L^*_a$	a^*_a	b^*_a	$C^*_{ab,a}$	$h^*_{ab,a}$	u^*
o00y	52.76	71.63	49.88	87.29	35	r14j
o25y	63.7	46.55	59.48	75.53	52	r39j
o50y	72.75	25.8	67.42	72.19	69	r65j
o75y	81.8	5.06	75.37	75.54	86	r90j
y00l	92.74	-20.03	84.97	87.3	103	j15g
y25l	90.85	-32.81	82.58	88.86	112	j27g
y50l	88.84	-46.36	80.04	92.5	120	j39g
y75l	86.61	-61.4	77.23	98.66	128	j51g
l00c	84.0	-78.99	73.94	108.2	137	j63g
l50c	86.2	-54.78	12.98	56.3	167	g04b
c00v	87.14	-44.42	-13.12	46.32	196	g31b
c50v	72.32	-13.05	-36.63	38.89	250	g80b
v00m	35.47	64.92	-95.07	115.12	304	b28r
v50m	47.77	77.67	-74.49	107.62	316	b39r
m00o	59.01	89.33	-55.68	105.26	328	b49r
m50o	55.59	79.65	2.03	79.68	1	b79r



Ein und Ausgabe: Farbmatisches Fernseh-Lichtfarben-System TLS18a für relativen CIELAB-Buntton $h^* = lab^*h^* = h_{ab}/360 = 0.334$

Daten für jede Farbe:

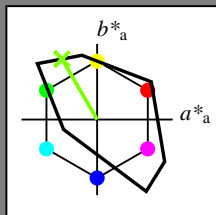
$lab^*_{tch^*}$ und $lab^*_{ncu^*}$

Geräte- und Elementar-

Bunttontext:

$d^* = y50l$ $u^* = j39g$

Dreiecks-Helligkeit t^*



TLS18a; adaptierte CIELAB-Daten					
Name	L^*_a	a^*_a	b^*_a	$C^*_{ab,a}$	$h^*_{ab,a}$
O _{Ma}	52.76	71.63	49.88	87.29	35
Y _{Ma}	92.74	-20.03	84.97	87.3	103
L _{Ma}	84.0	-78.99	73.94	108.2	137
C _{Ma}	87.14	-44.42	-13.12	46.32	196
V _{Ma}	35.47	64.92	-95.07	115.12	304
M _{Ma}	59.01	89.33	-55.68	105.26	328
N _{Ma}	18.01	0.0	0.0	0.0	0
W _{Ma}	95.41	0.0	0.0	0.0	0
O _{Ma}	39.92	58.74	27.99	65.07	25
Y _{Ma}	81.26	-2.89	71.56	71.62	92
L _{Ma}	52.23	-42.42	13.6	44.55	162
V _{Ma}	30.57	1.41	-46.47	46.49	272

Daten für Maximalfarbe (Ma):

$LAB^*_{LAB^*Ma}$: 89 -46 80

$LAB^*_{LCH^*Ma}$: 89 93 120

$lab^*_{olv^*Ma}$: 0.5 1.0 0.0

$lab^*_{rgb^*Ma}$: 0.6 1.0 0.0

Dreiecks-Helligkeit t^*

%Umfang

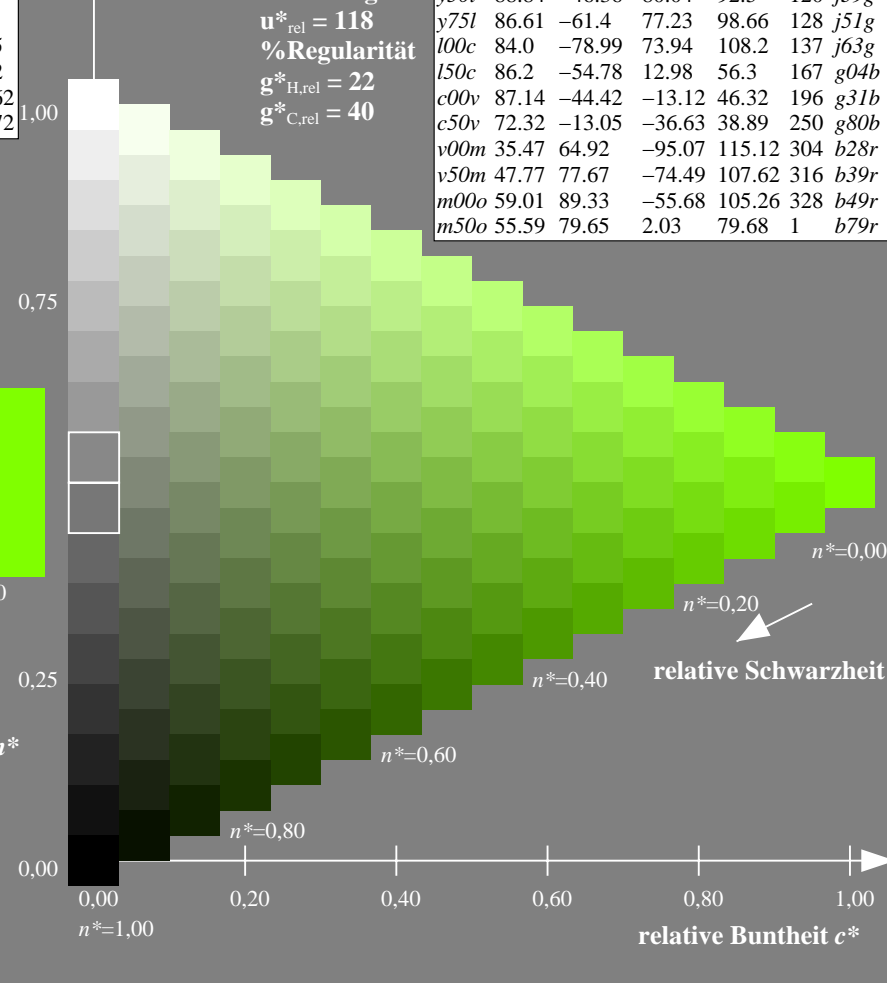
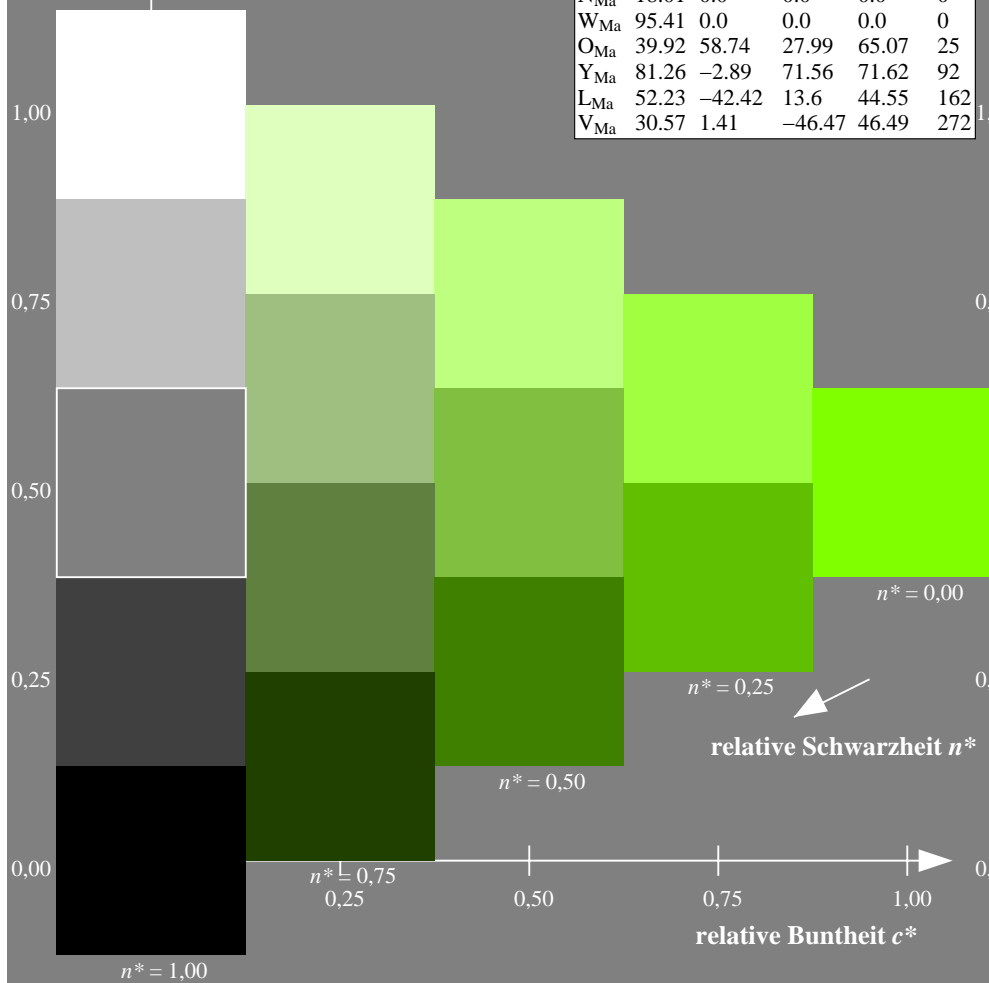
$u^*_{rel} = 118$

%Regularität

$g^*_{H,rel} = 22$

$g^*_{C,rel} = 40$

TLS18a; adaptierte CIELAB-Daten					
d^*	L^*_a	a^*_a	b^*_a	$C^*_{ab,a}$	$h^*_{ab,a}$
o00y	52.76	71.63	49.88	87.29	35
o25y	63.7	46.55	59.48	75.53	52
o50y	72.75	25.8	67.42	72.19	69
o75y	81.8	5.06	75.37	75.54	86
y00l	92.74	-20.03	84.97	87.3	103
y25l	90.85	-32.81	82.58	88.86	112
y50l	88.84	-46.36	80.04	92.5	120
y75l	86.61	-61.4	77.23	98.66	128
l00c	84.0	-78.99	73.94	108.2	137
l50c	86.2	-54.78	12.98	56.3	167
c00v	87.14	-44.42	-13.12	46.32	196
c50v	72.32	-13.05	-36.63	38.89	250
v00m	35.47	64.92	-95.07	115.12	304
v50m	47.77	77.67	-74.49	107.62	316
m00o	59.01	89.33	-55.68	105.26	328
m50o	55.59	79.65	2.03	79.68	1



Ein und Ausgabe: Farbmetrisches Fernseh-Lichtfarben-System TLS18a für relativen CIELAB-Buntton $h^* = lab^*h^* = h_{ab}/360 = 0.357$

Daten für jede Farbe:

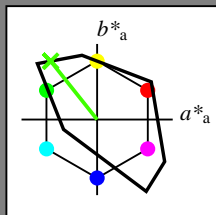
lab^*tch^* und lab^*ncu^*

Geräte- und Elementar-

Bunttontext:

$d^* = y75l$ $u^* = j51g$

Dreiecks-Helligkeit t^*



TLS18a; adaptierte CIELAB-Daten						
Name	L^*_a	a^*_a	b^*_a	$C^*_{ab,a}$	$h^*_{ab,a}$	
O _{Ma}	52.76	71.63	49.88	87.29	35	
Y _{Ma}	92.74	-20.03	84.97	87.3	103	
L _{Ma}	84.0	-78.99	73.94	108.2	137	
C _{Ma}	87.14	-44.42	-13.12	46.32	196	
V _{Ma}	35.47	64.92	-95.07	115.12	304	
M _{Ma}	59.01	89.33	-55.68	105.26	328	
N _{Ma}	18.01	0.0	0.0	0.0	0	
W _{Ma}	95.41	0.0	0.0	0.0	0	
O _{Ma}	39.92	58.74	27.99	65.07	25	
Y _{Ma}	81.26	-2.89	71.56	71.62	92	
L _{Ma}	52.23	-42.42	13.6	44.55	162	
V _{Ma}	30.57	1.41	-46.47	46.49	272	

Daten für Maximalfarbe (Ma):

$LAB^*LAB^*_{Ma}$: 87 -61 77

$LAB^*LCH^*_{Ma}$: 87 99 128

$lab^*olv^*_{Ma}$: 0.25 1.0 0.0

$lab^*rgb^*_{Ma}$: 0.48 1.0 0.0

Dreiecks-Helligkeit t^*

%Umfang

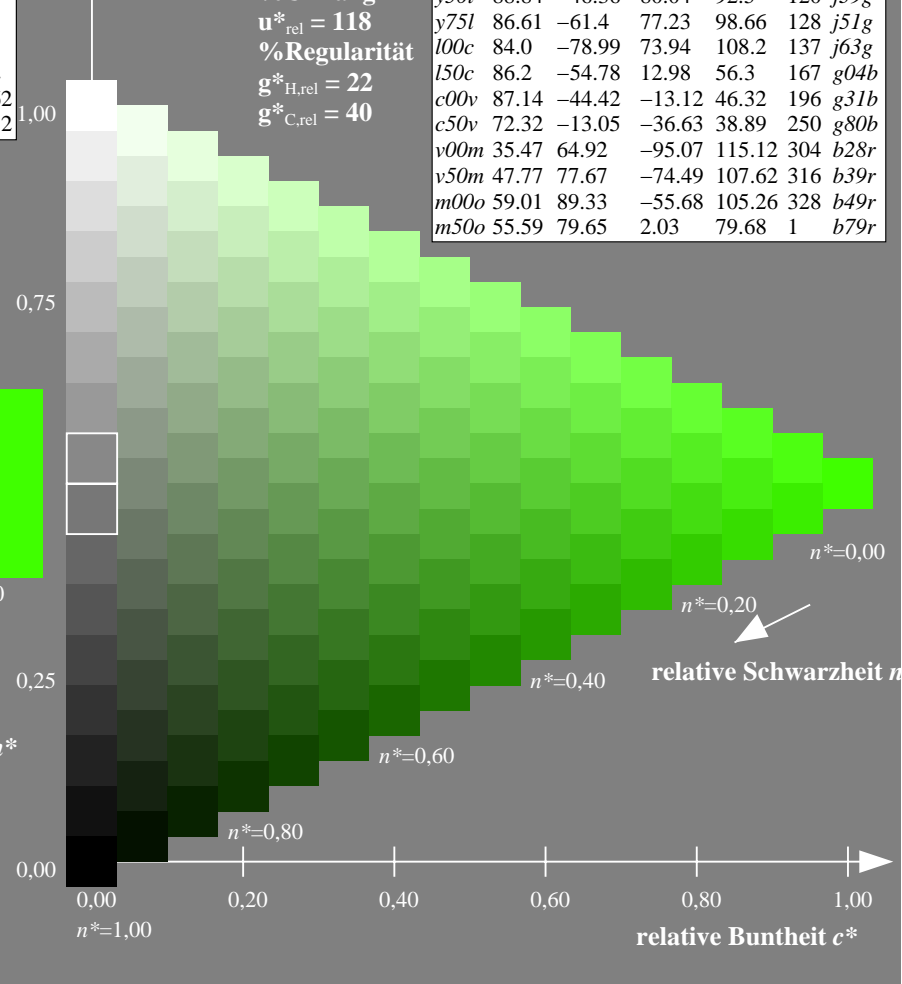
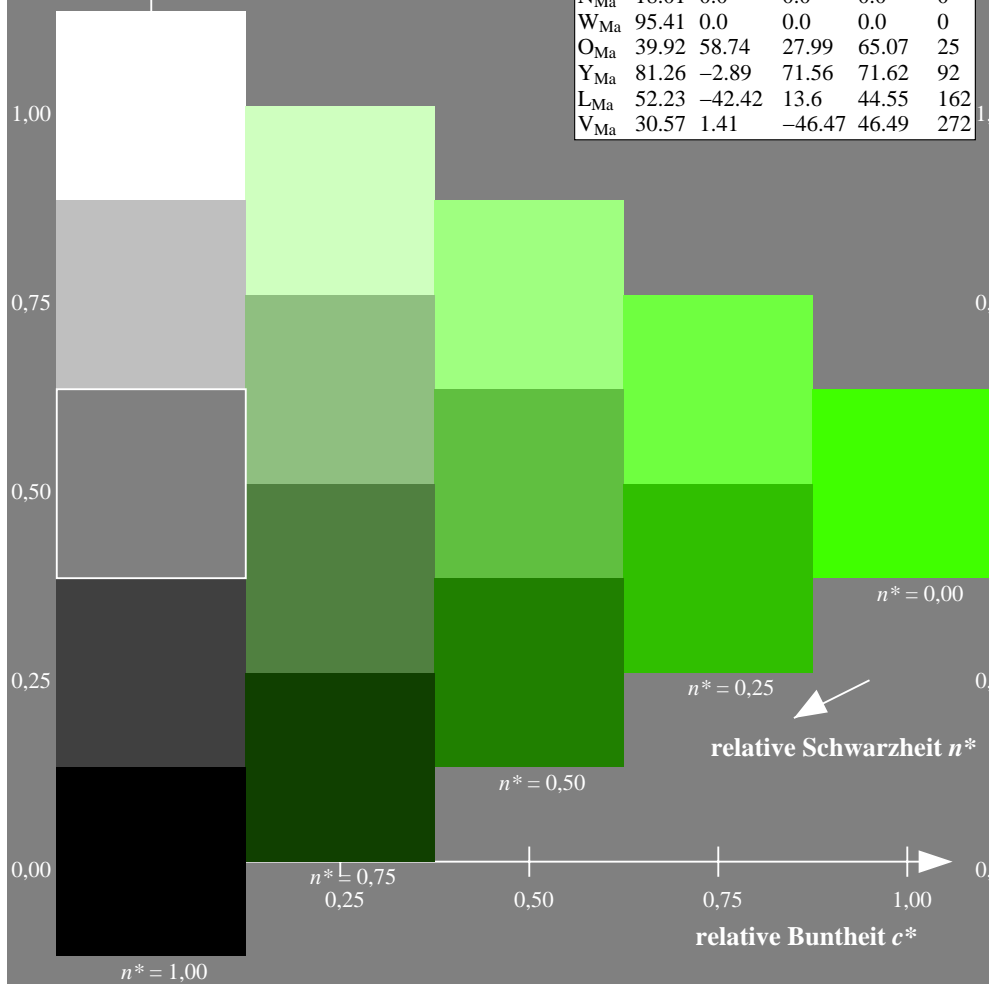
$u^*_{rel} = 118$

%Regularität

$g^*_{H,rel} = 22$

$g^*_{C,rel} = 40$

TLS18a; adaptierte CIELAB-Daten						
d^*	L^*_a	a^*_a	b^*_a	$C^*_{ab,a}$	$h^*_{ab,a}$	u^*
o00y	52.76	71.63	49.88	87.29	35	r14j
o25y	63.7	46.55	59.48	75.53	52	r39j
o50y	72.75	25.8	67.42	72.19	69	r65j
o75y	81.8	5.06	75.37	75.54	86	r90j
y00l	92.74	-20.03	84.97	87.3	103	j15g
y25l	90.85	-32.81	82.58	88.86	112	j27g
y50l	88.84	-46.36	80.04	92.5	120	j39g
y75l	86.61	-61.4	77.23	98.66	128	j51g
l00c	84.0	-78.99	73.94	108.2	137	j63g
l50c	86.2	-54.78	12.98	56.3	167	g04b
c00v	87.14	-44.42	-13.12	46.32	196	g31b
c50v	72.32	-13.05	-36.63	38.89	250	g80b
v00m	35.47	64.92	-95.07	115.12	304	b28r
v50m	47.77	77.67	-74.49	107.62	316	b39r
m00o	59.01	89.33	-55.68	105.26	328	b49r
m50o	55.59	79.65	2.03	79.68	1	b79r



Ein und Ausgabe: Farbmetrisches Fernseh-Lichtfarben-System TLS18a für relativen CIELAB-Buntton $h^* = lab^*h^* = h_{ab}/360 = 0.38$

Daten für jede Farbe:

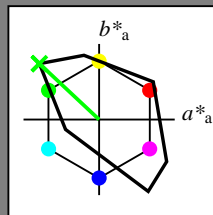
lab^*tch^* und lab^*ncu^*

Geräte- und Elementar-

Bunttontext:

$d^* = 100c$ $u^* = j63g$

Dreiecks-Helligkeit t^*



TLS18a; adaptierte CIELAB-Daten					
Name	L^*_a	a^*_a	b^*_a	$C^*_{ab,a}$	$h^*_{ab,a}$
O _{Ma}	52.76	71.63	49.88	87.29	35
Y _{Ma}	92.74	-20.03	84.97	87.3	103
L _{Ma}	84.0	-78.99	73.94	108.2	137
C _{Ma}	87.14	-44.42	-13.12	46.32	196
V _{Ma}	35.47	64.92	-95.07	115.12	304
M _{Ma}	59.01	89.33	-55.68	105.26	328
N _{Ma}	18.01	0.0	0.0	0.0	0
W _{Ma}	95.41	0.0	0.0	0.0	0
O _{Ma}	39.92	58.74	27.99	65.07	25
Y _{Ma}	81.26	-2.89	71.56	71.62	92
L _{Ma}	52.23	-42.42	13.6	44.55	162
V _{Ma}	30.57	1.41	-46.47	46.49	272

Daten für Maximalfarbe (Ma):

$LAB^*LAB^*_{Ma}$: 84 -79 74

$LAB^*LCH^*_{Ma}$: 84 108 136

$lab^*olv^*_{Ma}$: 0.0 1.0 0.0

$lab^*rgb^*_{Ma}$: 0.36 1.0 0.0

Dreiecks-Helligkeit t^*

%Umfang

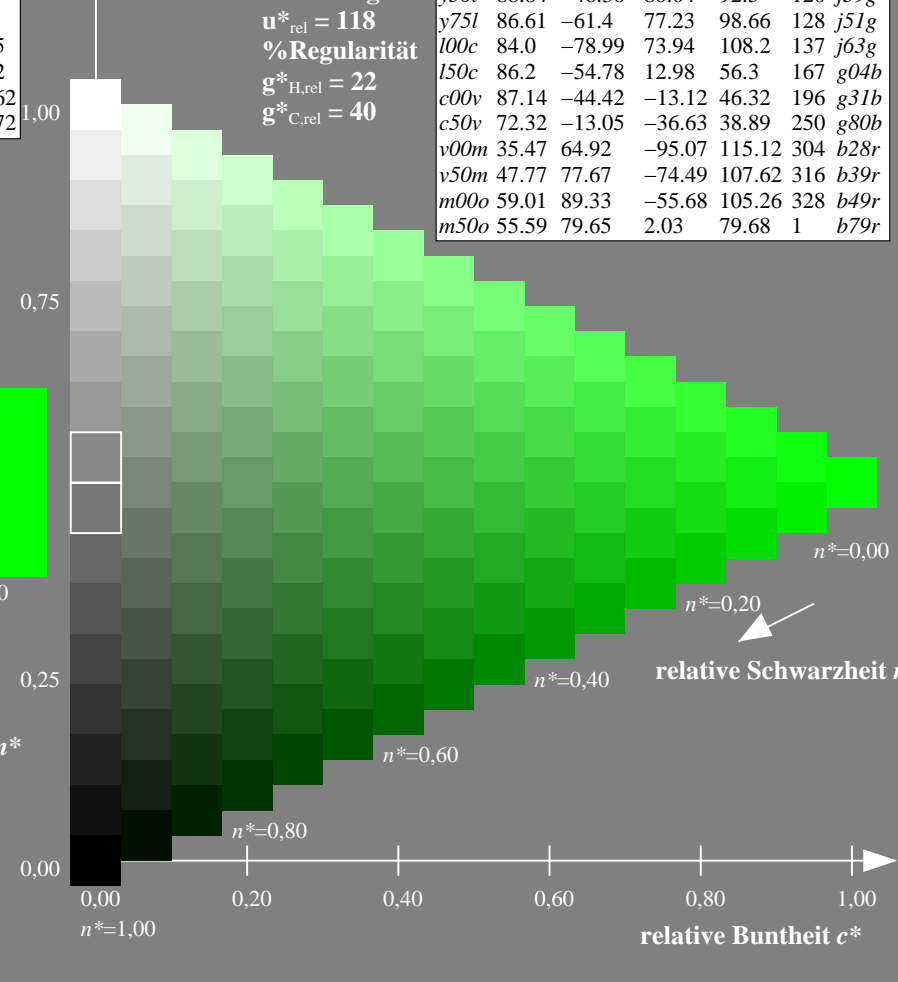
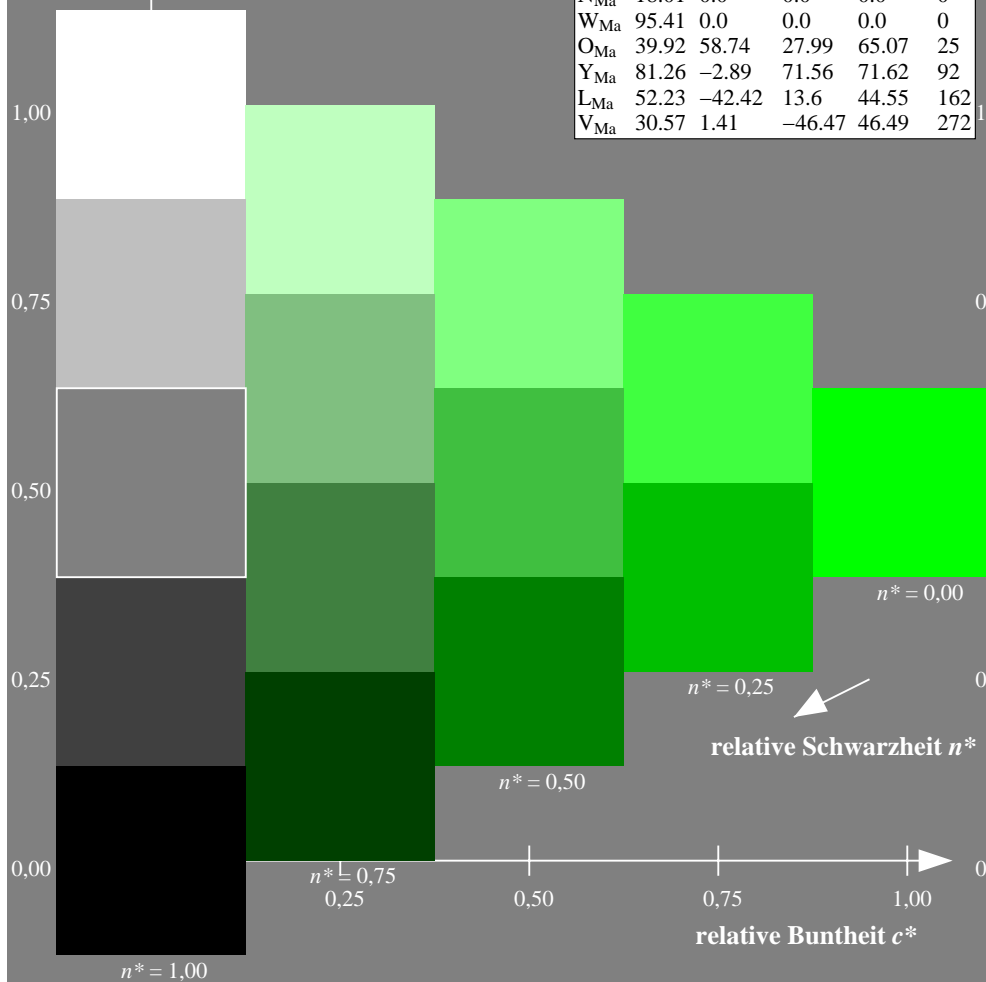
$u^*_{rel} = 118$

%Regularität

$g^*_{H,rel} = 22$

$g^*_{C,rel} = 40$

TLS18a; adaptierte CIELAB-Daten					
d^*	L^*_a	a^*_a	b^*_a	$C^*_{ab,a}$	$h^*_{ab,a}$
o00y	52.76	71.63	49.88	87.29	35
o25y	63.7	46.55	59.48	75.53	52
o50y	72.75	25.8	67.42	72.19	69
o75y	81.8	5.06	75.37	75.54	86
y00l	92.74	-20.03	84.97	87.3	103
y25l	90.85	-32.81	82.58	88.86	112
y50l	88.84	-46.36	80.04	92.5	120
y75l	86.61	-61.4	77.23	98.66	128
l00c	84.0	-78.99	73.94	108.2	137
l50c	86.2	-54.78	12.98	56.3	167
c00v	87.14	-44.42	-13.12	46.32	196
c50v	72.32	-13.05	-36.63	38.89	250
v00m	35.47	64.92	-95.07	115.12	304
v50m	47.77	77.67	-74.49	107.62	316
m00o	59.01	89.33	-55.68	105.26	328
m50o	55.59	79.65	2.03	79.68	1



Ein und Ausgabe: Farbmatisches Fernseh-Lichtfarben-System TLS18a für relativen CIELAB-Buntton $h^* = lab^*h^* = h_{ab}/360 = 0.463$ $d^* = l50c$

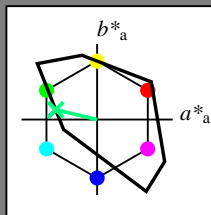
Daten für jede Farbe:

lab^*tch^* und lab^*ncu^*

Geräte- und Elementar-

Bunttontext:

$d^* = l50c$ $u^* = g04b$



TLS18a; adaptierte CIELAB-Daten					
Name	L^*_a	a^*_a	b^*_a	$C^*_{ab,a}$	$h^*_{ab,a}$
O _{Ma}	52.76	71.63	49.88	87.29	35
Y _{Ma}	92.74	-20.03	84.97	87.3	103
L _{Ma}	84.0	-78.99	73.94	108.2	137
C _{Ma}	87.14	-44.42	-13.12	46.32	196
V _{Ma}	35.47	64.92	-95.07	115.12	304
M _{Ma}	59.01	89.33	-55.68	105.26	328
N _{Ma}	18.01	0.0	0.0	0.0	0
W _{Ma}	95.41	0.0	0.0	0.0	0
O _{Ma}	39.92	58.74	27.99	65.07	25
Y _{Ma}	81.26	-2.89	71.56	71.62	92
L _{Ma}	52.23	-42.42	13.6	44.55	162
V _{Ma}	30.57	1.41	-46.47	46.49	272

Daten für Maximalfarbe (Ma):

$LAB^*LAB^*_{Ma}$: 86 -55 13

$LAB^*LCH^*_{Ma}$: 86 56 166

$lab^*olv^*_{Ma}$: 0.0 1.0 0.5

$lab^*rgb^*_{Ma}$: 0.0 1.0 0.08

TLS18a; adaptierte CIELAB-Daten					
d^*	L^*_a	a^*_a	b^*_a	$C^*_{ab,a}$	$h^*_{ab,a}$
o00y	52.76	71.63	49.88	87.29	35
o25y	63.7	46.55	59.48	75.53	52
o50y	72.75	25.8	67.42	72.19	69
o75y	81.8	5.06	75.37	75.54	86
y00l	92.74	-20.03	84.97	87.3	103
y25l	90.85	-32.81	82.58	88.86	112
y50l	88.84	-46.36	80.04	92.5	120
y75l	86.61	-61.4	77.23	98.66	128
l00c	84.0	-78.99	73.94	108.2	137
l50c	86.2	-54.78	12.98	56.3	167
c00v	87.14	-44.42	-13.12	46.32	196
c50v	72.32	-13.05	-36.63	38.89	250
v00m	35.47	64.92	-95.07	115.12	304
v50m	47.77	77.67	-74.49	107.62	316
m00o	59.01	89.33	-55.68	105.26	328
m50o	55.59	79.65	2.03	79.68	1

Dreiecks-Helligkeit t^*

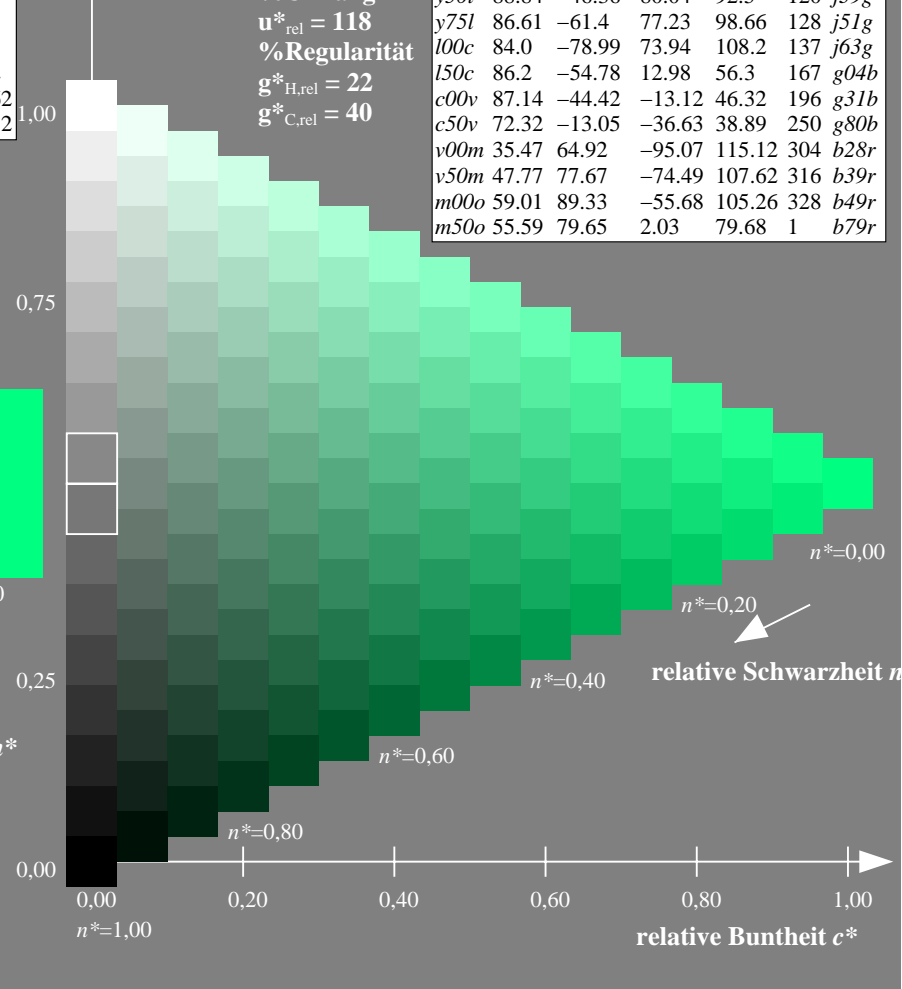
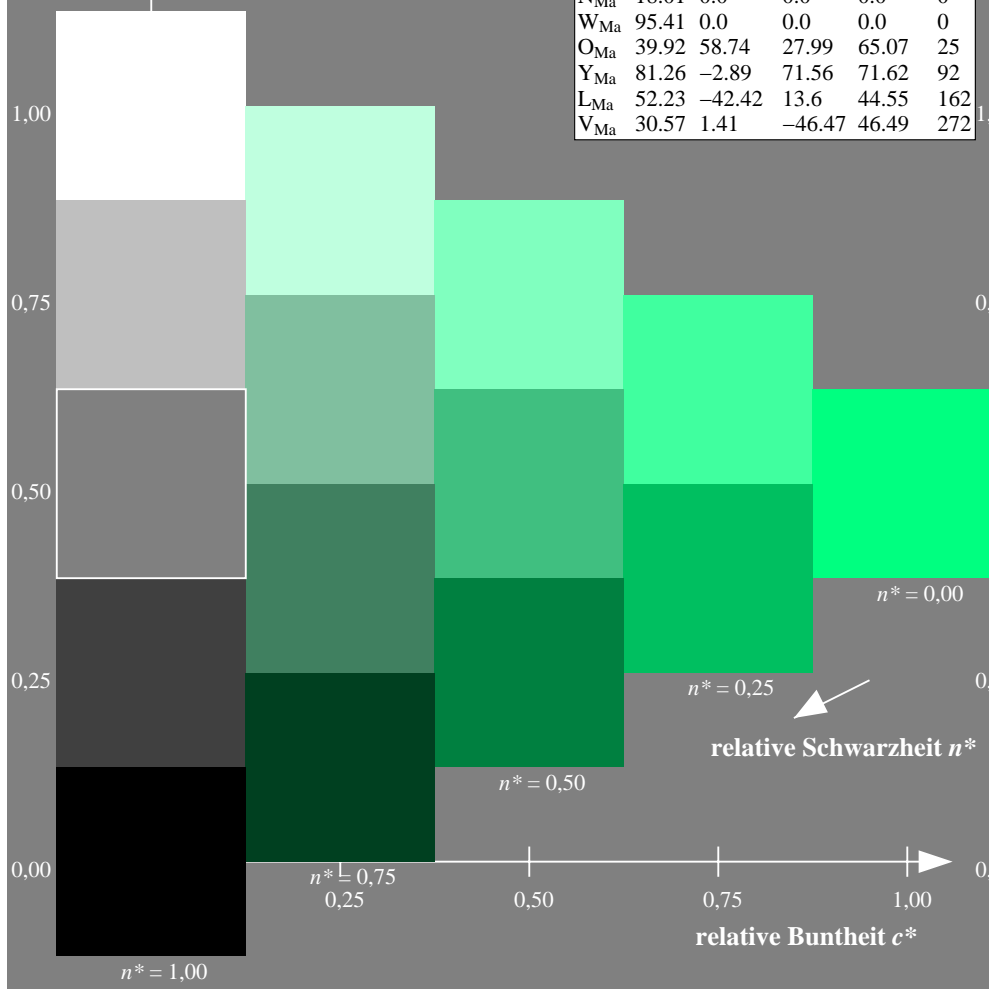
%Umfang

$u^*_{rel} = 118$

%Regularität

$g^*_{H,rel} = 22$

$g^*_{C,rel} = 40$



Ein und Ausgabe: Farbmetrisches Fernseh-Lichtfarben-System TLS18a für relativen CIELAB-Buntton $h^* = lab^*h^* = h_{ab}/360 = 0.546$

Daten für jede Farbe:

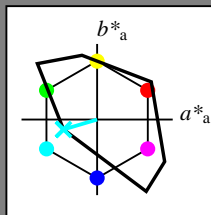
$lab^*_{tch^*}$ und $lab^*_{ncu^*}$

Geräte- und Elementar-

Bunttontext:

$d^* = c00v$ $u^* = g31b$

Dreiecks-Helligkeit t^*



TLS18a; adaptierte CIELAB-Daten					
Name	L^*_a	a^*_a	b^*_a	$C^*_{ab,a}$	$h^*_{ab,a}$
O _{Ma}	52.76	71.63	49.88	87.29	35
Y _{Ma}	92.74	-20.03	84.97	87.3	103
L _{Ma}	84.0	-78.99	73.94	108.2	137
C _{Ma}	87.14	-44.42	-13.12	46.32	196
V _{Ma}	35.47	64.92	-95.07	115.12	304
M _{Ma}	59.01	89.33	-55.68	105.26	328
N _{Ma}	18.01	0.0	0.0	0.0	0
W _{Ma}	95.41	0.0	0.0	0.0	0
O _{Ma}	39.92	58.74	27.99	65.07	25
Y _{Ma}	81.26	-2.89	71.56	71.62	92
L _{Ma}	52.23	-42.42	13.6	44.55	162
V _{Ma}	30.57	1.41	-46.47	46.49	272

Daten für Maximalfarbe (Ma):

$LAB^*_{LAB^*Ma}$: 87 -44 -13

$LAB^*_{LCH^*Ma}$: 87 46 196

$lab^*_{olv^*Ma}$: 0.0 1.0 1.0

$lab^*_{rgb^*Ma}$: 0.0 1.0 0.63

Dreiecks-Helligkeit t^*

%Umfang

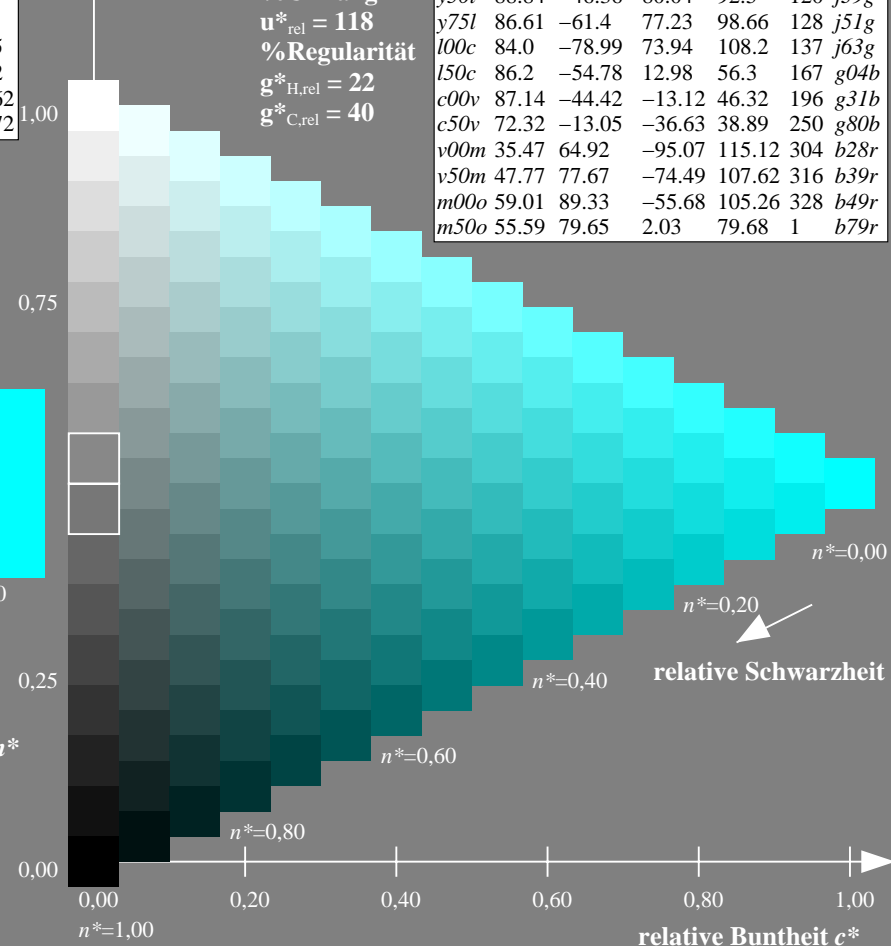
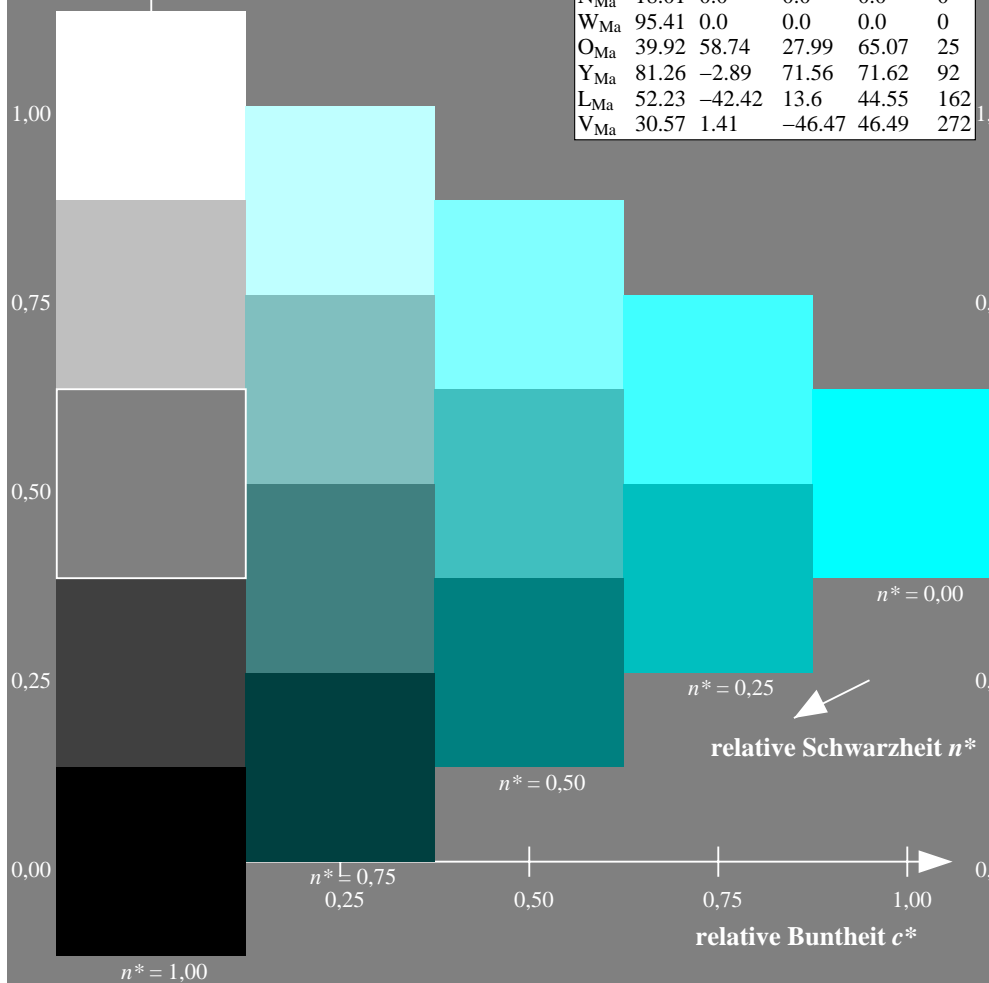
$u^*_{rel} = 118$

%Regularität

$g^*_{H,rel} = 22$

$g^*_{C,rel} = 40$

TLS18a; adaptierte CIELAB-Daten					
d^*	L^*_a	a^*_a	b^*_a	$C^*_{ab,a}$	$h^*_{ab,a}$
$o00y$	52.76	71.63	49.88	87.29	35
$o25y$	63.7	46.55	59.48	75.53	52
$o50y$	72.75	25.8	67.42	72.19	69
$o75y$	81.8	5.06	75.37	75.54	86
$y00l$	92.74	-20.03	84.97	87.3	103
$y25l$	90.85	-32.81	82.58	88.86	112
$y50l$	88.84	-46.36	80.04	92.5	120
$y75l$	86.61	-61.4	77.23	98.66	128
$l00c$	84.0	-78.99	73.94	108.2	137
$l50c$	86.2	-54.78	12.98	56.3	167
$c00v$	87.14	-44.42	-13.12	46.32	196
$c50v$	72.32	-13.05	-36.63	38.89	250
$v00m$	35.47	64.92	-95.07	115.12	304
$v50m$	47.77	77.67	-74.49	107.62	316
$m00o$	59.01	89.33	-55.68	105.26	328
$m50o$	55.59	79.65	2.03	79.68	1



Ein und Ausgabe: Farbmetrisches Fernseh-Lichtfarben-System TLS18a für relativen CIELAB-Buntton $h^* = lab^*h^* = h_{ab}/360 = 0.696$

Daten für jede Farbe:

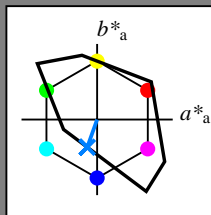
$lab^*_{tch^*}$ und $lab^*_{ncu^*}$

Geräte- und Elementar-

Bunttontext:

$d^* = c50v$ $u^* = g80b$

Dreiecks-Helligkeit t^*



TLS18a; adaptierte CIELAB-Daten					
Name	L^*_a	a^*_a	b^*_a	$C^*_{ab,a}$	$h^*_{ab,a}$
O _{Ma}	52.76	71.63	49.88	87.29	35
Y _{Ma}	92.74	-20.03	84.97	87.3	103
L _{Ma}	84.0	-78.99	73.94	108.2	137
C _{Ma}	87.14	-44.42	-13.12	46.32	196
V _{Ma}	35.47	64.92	-95.07	115.12	304
M _{Ma}	59.01	89.33	-55.68	105.26	328
N _{Ma}	18.01	0.0	0.0	0.0	0
W _{Ma}	95.41	0.0	0.0	0.0	0
O _{Ma}	39.92	58.74	27.99	65.07	25
Y _{Ma}	81.26	-2.89	71.56	71.62	92
L _{Ma}	52.23	-42.42	13.6	44.55	162
V _{Ma}	30.57	1.41	-46.47	46.49	272

Daten für Maximalfarbe (Ma):

$LAB^*_{LAB^*Ma}$: 72 -13 -37

$LAB^*_{LCH^*Ma}$: 72 39 250

$lab^*_{olv^*Ma}$: 0.0 0.5 1.0

$lab^*_{rgb^*Ma}$: 0.0 0.39 1.0

Dreiecks-Helligkeit t^*

%Umfang

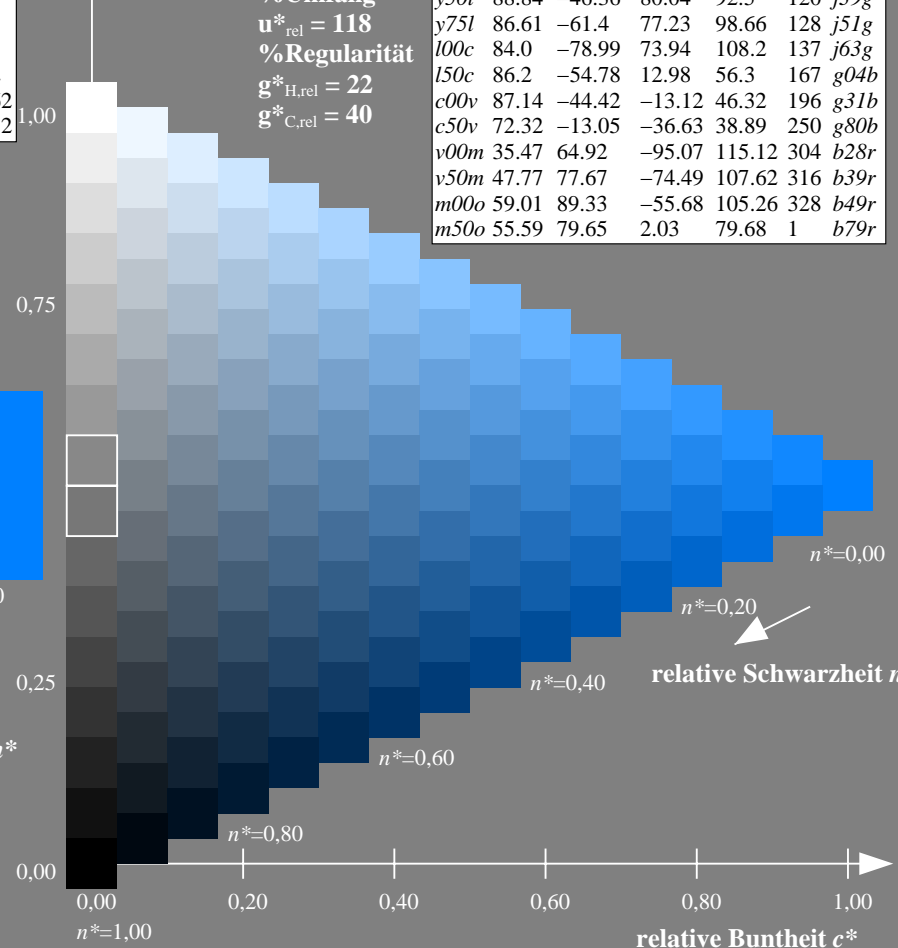
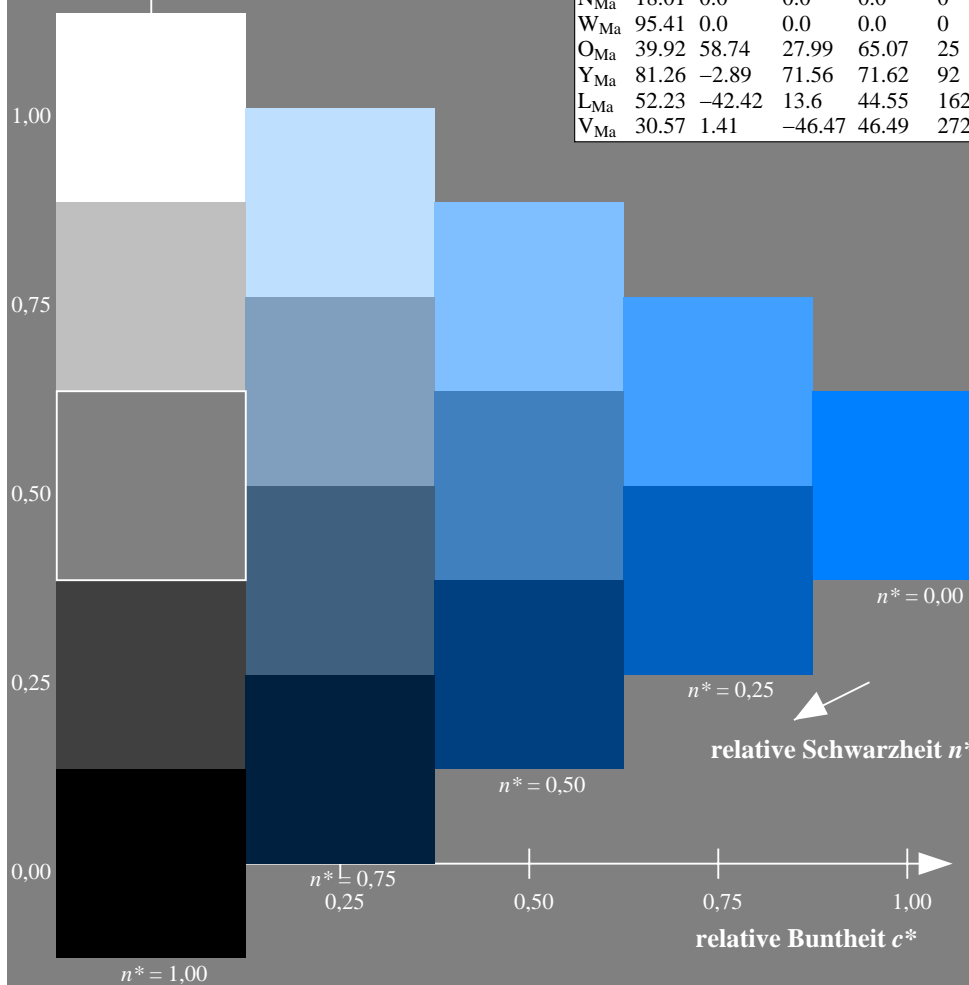
$u^*_{rel} = 118$

%Regularität

$g^*_{H,rel} = 22$

$g^*_{C,rel} = 40$

TLS18a; adaptierte CIELAB-Daten					
d^*	L^*_a	a^*_a	b^*_a	$C^*_{ab,a}$	$h^*_{ab,a}$
$o00y$	52.76	71.63	49.88	87.29	35
$o25y$	63.7	46.55	59.48	75.53	52
$o50y$	72.75	25.8	67.42	72.19	69
$o75y$	81.8	5.06	75.37	75.54	86
$y00l$	92.74	-20.03	84.97	87.3	103
$y25l$	90.85	-32.81	82.58	88.86	112
$y50l$	88.84	-46.36	80.04	92.5	120
$y75l$	86.61	-61.4	77.23	98.66	128
$l00c$	84.0	-78.99	73.94	108.2	137
$l50c$	86.2	-54.78	12.98	56.3	167
$c00v$	87.14	-44.42	-13.12	46.32	196
$c50v$	72.32	-13.05	-36.63	38.89	250
$v00m$	35.47	64.92	-95.07	115.12	304
$v50m$	47.77	77.67	-74.49	107.62	316
$m00o$	59.01	89.33	-55.68	105.26	328
$m50o$	55.59	79.65	2.03	79.68	1



Ein und Ausgabe: Farbmetrisches Fernseh-Lichtfarben-System TLS18a für relativen CIELAB-Buntton $h^* = lab^*h^* = h_{ab}/360 = 0.845$

Daten für jede Farbe:

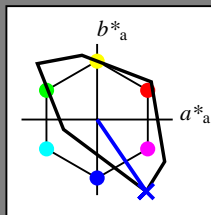
lab^*tch^* und lab^*ncu^*

Geräte- und Elementar-

Bunttontext:

$d^* = v00m$ $u^* = b28r$

Dreiecks-Helligkeit t^*



TLS18a; adaptierte CIELAB-Daten					
Name	L^*_a	a^*_a	b^*_a	$C^*_{ab,a}$	$h^*_{ab,a}$
O _{Ma}	52.76	71.63	49.88	87.29	35
Y _{Ma}	92.74	-20.03	84.97	87.3	103
L _{Ma}	84.0	-78.99	73.94	108.2	137
C _{Ma}	87.14	-44.42	-13.12	46.32	196
V _{Ma}	35.47	64.92	-95.07	115.12	304
M _{Ma}	59.01	89.33	-55.68	105.26	328
N _{Ma}	18.01	0.0	0.0	0.0	0
W _{Ma}	95.41	0.0	0.0	0.0	0
O _{Ma}	39.92	58.74	27.99	65.07	25
Y _{Ma}	81.26	-2.89	71.56	71.62	92
L _{Ma}	52.23	-42.42	13.6	44.55	162
V _{Ma}	30.57	1.41	-46.47	46.49	272

Daten für Maximalfarbe (Ma):

$LAB^*LAB^*_{Ma}$: 35 65 -95

$LAB^*LCH^*_{Ma}$: 35 115 304

$lab^*olv^*_{Ma}$: 0.0 0.0 1.0

$lab^*rgb^*_{Ma}$: 0.57 0.0 1.0

Dreiecks-Helligkeit t^*

%Umfang

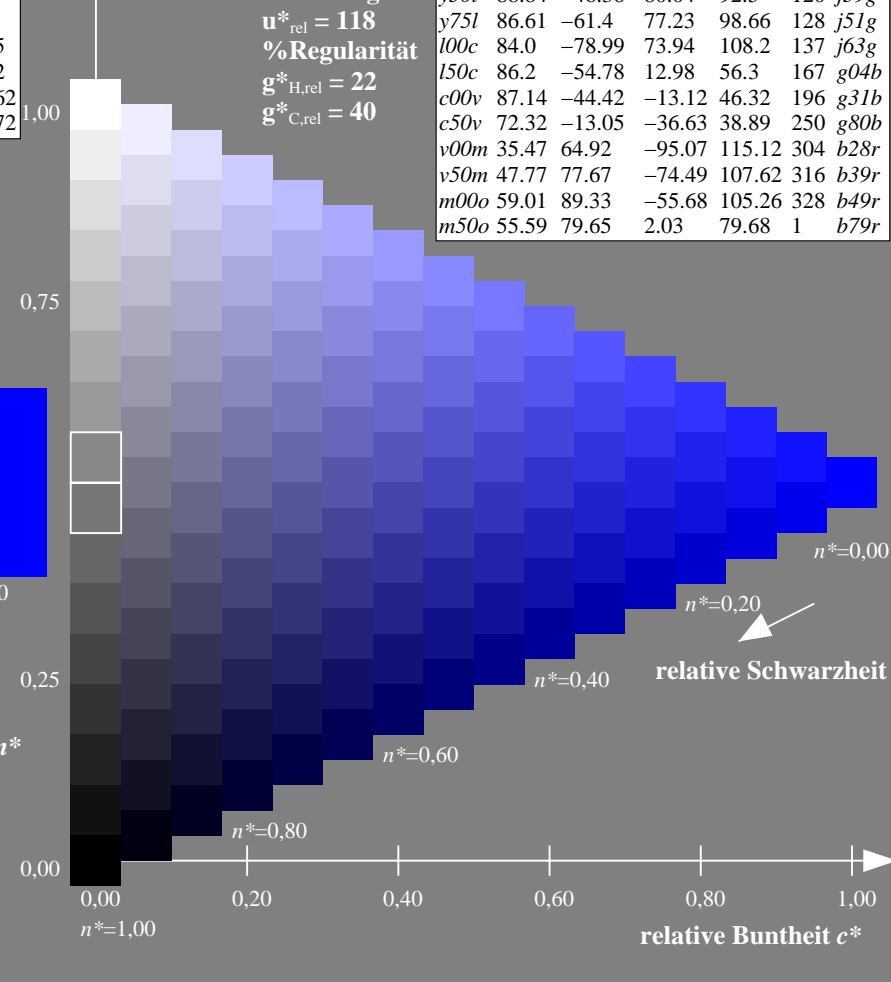
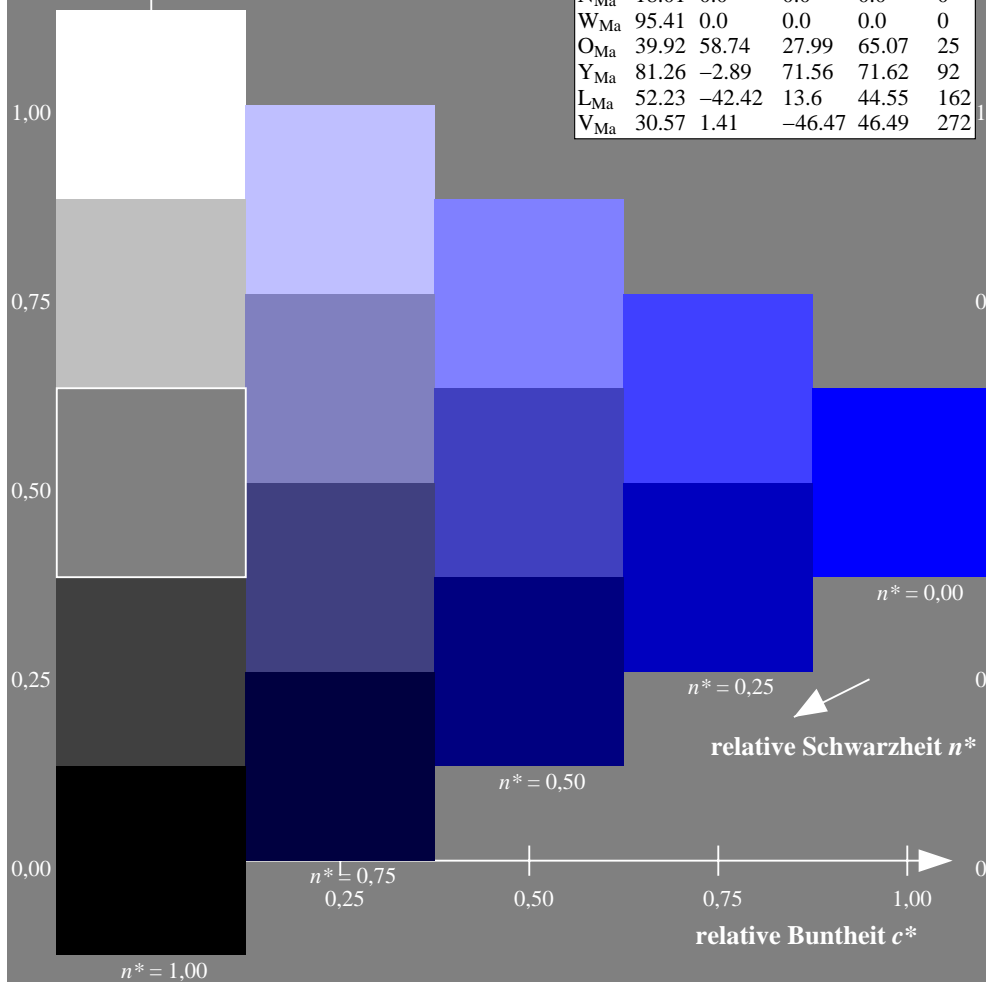
$u^*_{rel} = 118$

%Regularität

$g^*_{H,rel} = 22$

$g^*_{C,rel} = 40$

TLS18a; adaptierte CIELAB-Daten						
d^*	L^*_a	a^*_a	b^*_a	$C^*_{ab,a}$	$h^*_{ab,a}$	u^*
o00y	52.76	71.63	49.88	87.29	35	r14j
o25y	63.7	46.55	59.48	75.53	52	r39j
o50y	72.75	25.8	67.42	72.19	69	r65j
o75y	81.8	5.06	75.37	75.54	86	r90j
y00l	92.74	-20.03	84.97	87.3	103	j15g
y25l	90.85	-32.81	82.58	88.86	112	j27g
y50l	88.84	-46.36	80.04	92.5	120	j39g
y75l	86.61	-61.4	77.23	98.66	128	j51g
l00c	84.0	-78.99	73.94	108.2	137	j63g
l50c	86.2	-54.78	12.98	56.3	167	g04b
c00v	87.14	-44.42	-13.12	46.32	196	g31b
c50v	72.32	-13.05	-36.63	38.89	250	g80b
v00m	35.47	64.92	-95.07	115.12	304	b28r
v50m	47.77	77.67	-74.49	107.62	316	b39r
m00o	59.01	89.33	-55.68	105.26	328	b49r
m50o	55.59	79.65	2.03	79.68	1	b79r



Ein und Ausgabe: Farbmetrisches Fernseh-Lichtfarben-System TLS18a für relativen CIELAB-Buntton $h^* = lab^*h^* = h_{ab}/360 = 0.878$

Daten für jede Farbe:

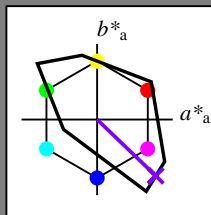
$lab^*_{tch^*}$ und $lab^*_{ncu^*}$

Geräte- und Elementar-

Bunttontext:

$d^* = v50m$ $u^* = b39r$

Dreiecks-Helligkeit t^*



TLS18a; adaptierte CIELAB-Daten					
Name	L^*_a	a^*_a	b^*_a	$C^*_{ab,a}$	$h^*_{ab,a}$
O _{Ma}	52.76	71.63	49.88	87.29	35
Y _{Ma}	92.74	-20.03	84.97	87.3	103
L _{Ma}	84.0	-78.99	73.94	108.2	137
C _{Ma}	87.14	-44.42	-13.12	46.32	196
V _{Ma}	35.47	64.92	-95.07	115.12	304
M _{Ma}	59.01	89.33	-55.68	105.26	328
N _{Ma}	18.01	0.0	0.0	0.0	0
W _{Ma}	95.41	0.0	0.0	0.0	0
O _{Ma}	39.92	58.74	27.99	65.07	25
Y _{Ma}	81.26	-2.89	71.56	71.62	92
L _{Ma}	52.23	-42.42	13.6	44.55	162
V _{Ma}	30.57	1.41	-46.47	46.49	272

Daten für Maximalfarbe (Ma):

$LAB^*_{LAB^*Ma}$: 48 78 -74

$LAB^*_{LCH^*Ma}$: 48 108 316

$lab^*_{olv^*Ma}$: 0.5 0.0 1.0

$lab^*_{rgb^*Ma}$: 0.78 0.0 1.0

Dreiecks-Helligkeit t^*

%Umfang

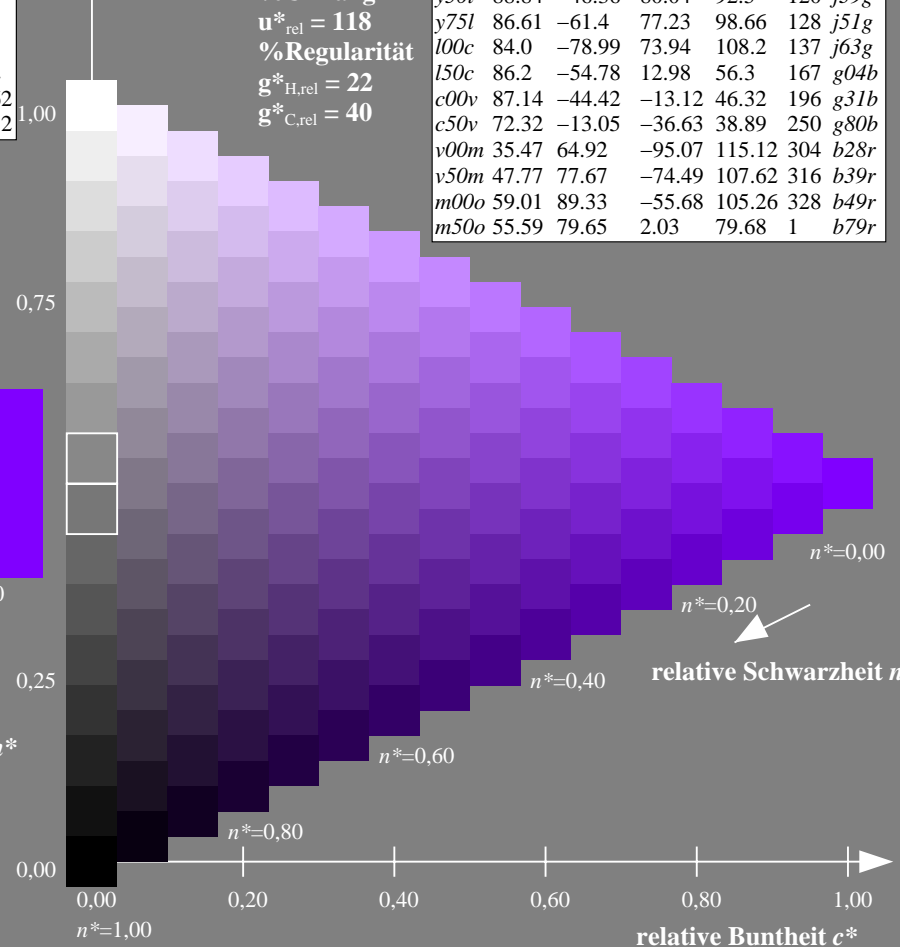
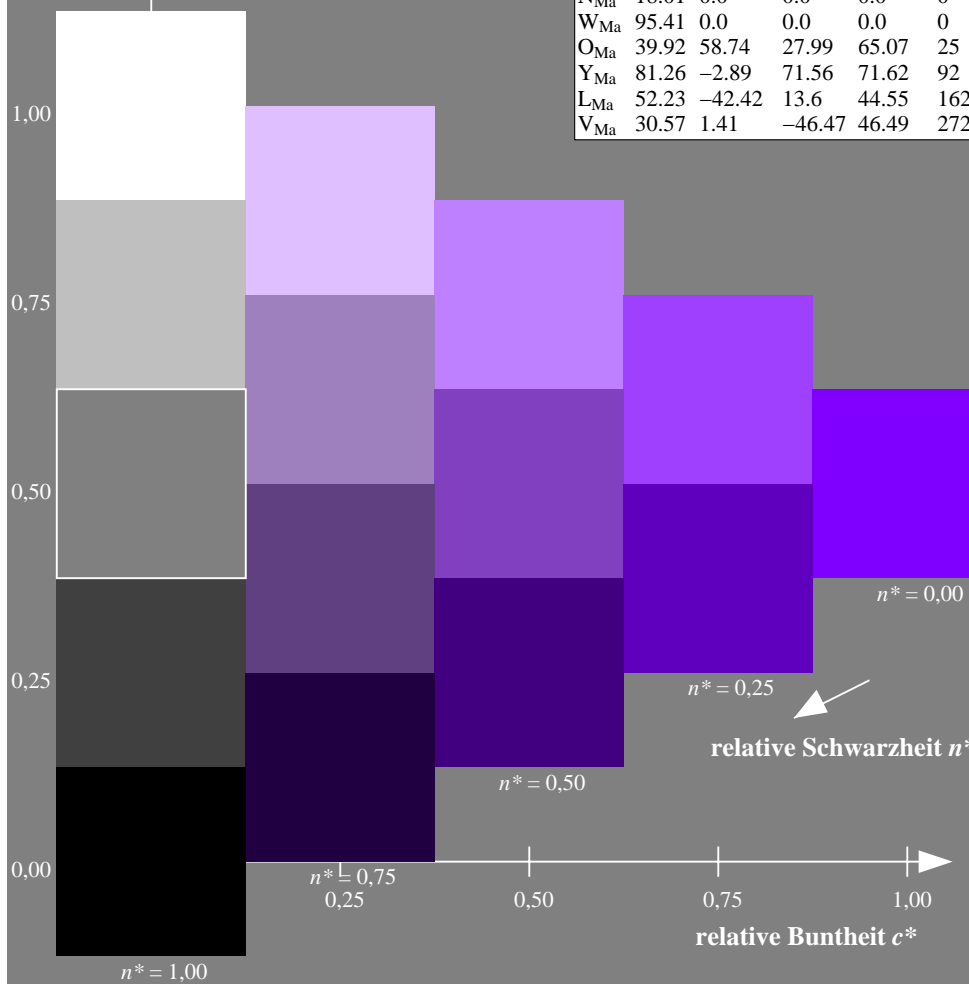
$u^*_{rel} = 118$

%Regularität

$g^*_{H,rel} = 22$

$g^*_{C,rel} = 40$

TLS18a; adaptierte CIELAB-Daten							
d^*	L^*_a	a^*_a	b^*_a	$C^*_{ab,a}$	$h^*_{ab,a}$	u^*	
o00y	52.76	71.63	49.88	87.29	35	r14j	
o25y	63.7	46.55	59.48	75.53	52	r39j	
o50y	72.75	25.8	67.42	72.19	69	r65j	
o75y	81.8	5.06	75.37	75.54	86	r90j	
y00l	92.74	-20.03	84.97	87.3	103	j15g	
y25l	90.85	-32.81	82.58	88.86	112	j27g	
y50l	88.84	-46.36	80.04	92.5	120	j39g	
y75l	86.61	-61.4	77.23	98.66	128	j51g	
l00c	84.0	-78.99	73.94	108.2	137	j63g	
l50c	86.2	-54.78	12.98	56.3	167	g04b	
c00v	87.14	-44.42	-13.12	46.32	196	g31b	
c50v	72.32	-13.05	-36.63	38.89	250	g80b	
v00m	35.47	64.92	-95.07	115.12	304	b28r	
v50m	47.77	77.67	-74.49	107.62	316	b39r	
m00o	59.01	89.33	-55.68	105.26	328	b49r	
m50o	55.59	79.65	2.03	79.68	1	b79r	



Ein und Ausgabe: Farbmatisches Fernseh-Lichtfarben-System TLS18a für relativen CIELAB-Buntton $h^* = lab^*h^* = h_{ab}/360 = 0.911$

Daten für jede Farbe:

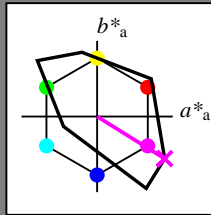
$lab^*_{tch^*}$ und $lab^*_{ncu^*}$

Geräte- und Elementar-

Bunttontext:

$d^* = m00o$ $u^* = b49r$

Dreiecks-Helligkeit t^*



TLS18a; adaptierte CIELAB-Daten					
Name	L^*_a	a^*_a	b^*_a	$C^*_{ab,a}$	$h^*_{ab,a}$
O _{Ma}	52.76	71.63	49.88	87.29	35
Y _{Ma}	92.74	-20.03	84.97	87.3	103
L _{Ma}	84.0	-78.99	73.94	108.2	137
C _{Ma}	87.14	-44.42	-13.12	46.32	196
V _{Ma}	35.47	64.92	-95.07	115.12	304
M _{Ma}	59.01	89.33	-55.68	105.26	328
N _{Ma}	18.01	0.0	0.0	0.0	0
W _{Ma}	95.41	0.0	0.0	0.0	0
O _{Ma}	39.92	58.74	27.99	65.07	25
Y _{Ma}	81.26	-2.89	71.56	71.62	92
L _{Ma}	52.23	-42.42	13.6	44.55	162
V _{Ma}	30.57	1.41	-46.47	46.49	272

Daten für Maximalfarbe (Ma):

$LAB^*_{LAB^*Ma}$: 59 89 -56

$LAB^*_{LCH^*Ma}$: 59 105 328

$lab^*_{olv^*Ma}$: 1.0 0.0 1.0

$lab^*_{rgb^*Ma}$: 0.99 0.0 1.0

Dreiecks-Helligkeit t^*

%Umfang

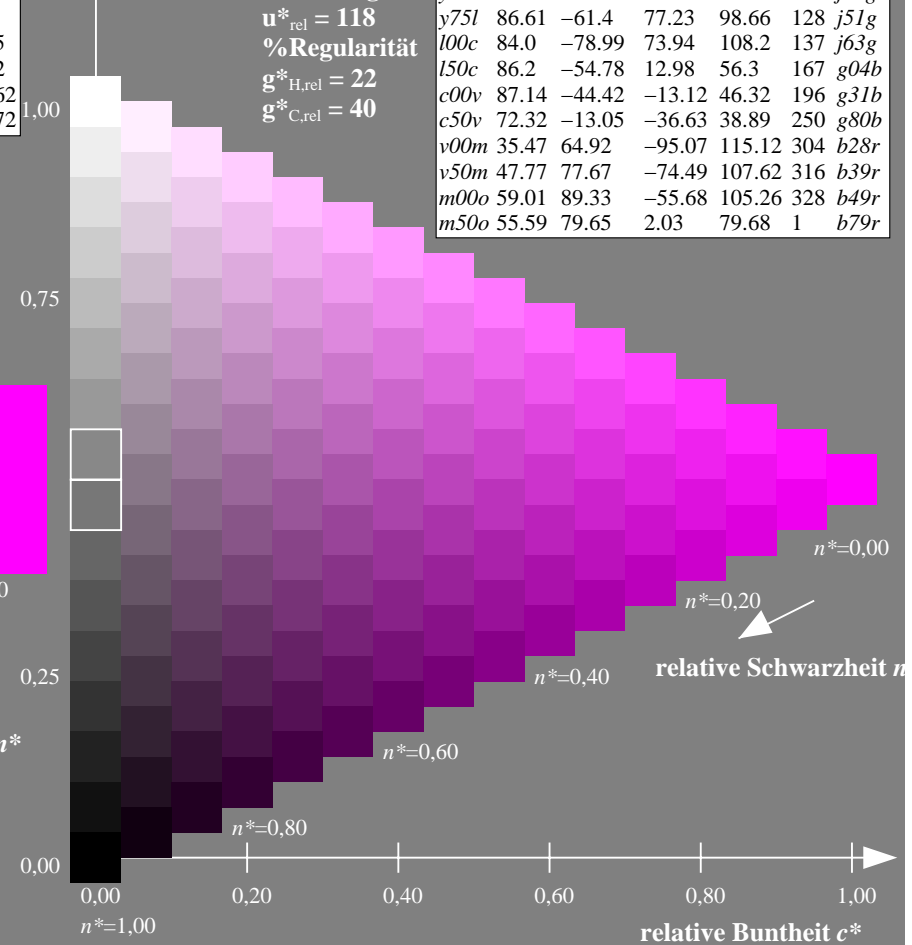
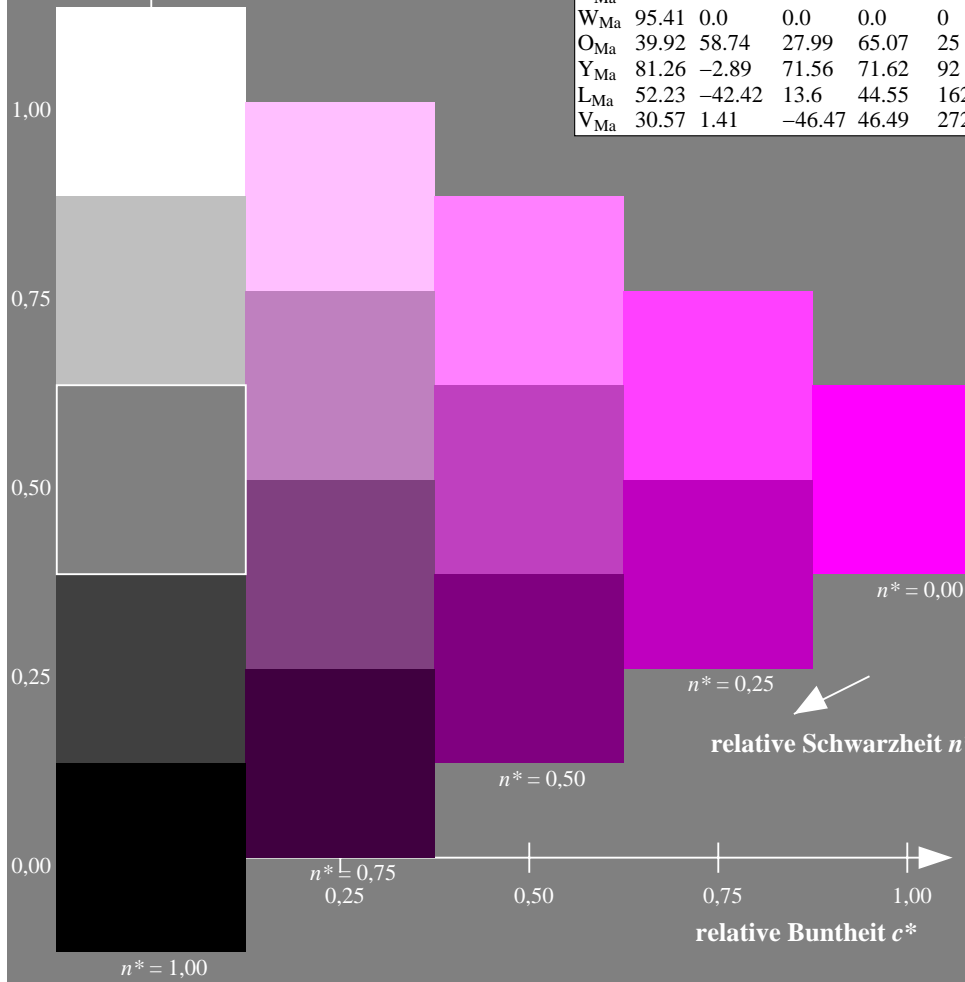
$u^*_{rel} = 118$

%Regularität

$g^*_{H,rel} = 22$

$g^*_{C,rel} = 40$

TLS18a; adaptierte CIELAB-Daten							
d^*	L^*_a	a^*_a	b^*_a	$C^*_{ab,a}$	$h^*_{ab,a}$	u^*	
o00y	52.76	71.63	49.88	87.29	35		r14j
o25y	63.7	46.55	59.48	75.53	52		r39j
o50y	72.75	25.8	67.42	72.19	69		r65j
o75y	81.8	5.06	75.37	75.54	86		r90j
y00l	92.74	-20.03	84.97	87.3	103		j15g
y25l	90.85	-32.81	82.58	88.86	112		j27g
y50l	88.84	-46.36	80.04	92.5	120		j39g
y75l	86.61	-61.4	77.23	98.66	128		j51g
l00c	84.0	-78.99	73.94	108.2	137		j63g
l50c	86.2	-54.78	12.98	56.3	167		g04b
c00v	87.14	-44.42	-13.12	46.32	196		g31b
c50v	72.32	-13.05	-36.63	38.89	250		g80b
v00m	35.47	64.92	-95.07	115.12	304		b28r
v50m	47.77	77.67	-74.49	107.62	316		b39r
m00o	59.01	89.33	-55.68	105.26	328		b49r
m50o	55.59	79.65	2.03	79.68	1		b79r



Ein und Ausgabe: Farbmetrisches Fernseh-Lichtfarben-System TLS18a für relativen CIELAB-Buntton $h^* = lab^*h^* = h_{ab}/360 = 0.004$

Daten für jede Farbe:

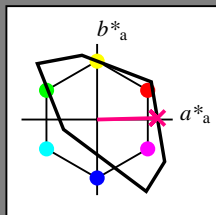
$lab^*_{tch^*}$ und $lab^*_{ncu^*}$

Geräte- und Elementar-

Bunttontext:

$d^* = m50o$ $u^* = b79r$

Dreiecks-Helligkeit t^*



TLS18a; adaptierte CIELAB-Daten					
Name	L^*_a	a^*_a	b^*_a	$C^*_{ab,a}$	$h^*_{ab,a}$
O _{Ma}	52.76	71.63	49.88	87.29	35
Y _{Ma}	92.74	-20.03	84.97	87.3	103
L _{Ma}	84.0	-78.99	73.94	108.2	137
C _{Ma}	87.14	-44.42	-13.12	46.32	196
V _{Ma}	35.47	64.92	-95.07	115.12	304
M _{Ma}	59.01	89.33	-55.68	105.26	328
N _{Ma}	18.01	0.0	0.0	0.0	0
W _{Ma}	95.41	0.0	0.0	0.0	0
O _{Ma}	39.92	58.74	27.99	65.07	25
Y _{Ma}	81.26	-2.89	71.56	71.62	92
L _{Ma}	52.23	-42.42	13.6	44.55	162
V _{Ma}	30.57	1.41	-46.47	46.49	272

Daten für Maximalfarbe (Ma):

$LAB^*_{LAB^*Ma}$: 56 80 2

$LAB^*_{LCH^*Ma}$: 56 80 1

$lab^*_{olv^*Ma}$: 1.0 0.0 0.5

$lab^*_{rgb^*Ma}$: 1.0 0.0 0.42

Dreiecks-Helligkeit t^*

%Umfang

$u^*_{rel} = 118$

%Regularität

$g^*_{H,rel} = 22$

$g^*_{C,rel} = 40$

TLS18a; adaptierte CIELAB-Daten						
d^*	L^*_a	a^*_a	b^*_a	$C^*_{ab,a}$	$h^*_{ab,a}$	u^*
o00y	52.76	71.63	49.88	87.29	35	r14j
o25y	63.7	46.55	59.48	75.53	52	r39j
o50y	72.75	25.8	67.42	72.19	69	r65j
o75y	81.8	5.06	75.37	75.54	86	r90j
y00l	92.74	-20.03	84.97	87.3	103	j15g
y25l	90.85	-32.81	82.58	88.86	112	j27g
y50l	88.84	-46.36	80.04	92.5	120	j39g
y75l	86.61	-61.4	77.23	98.66	128	j51g
l00c	84.0	-78.99	73.94	108.2	137	j63g
l50c	86.2	-54.78	12.98	56.3	167	g04b
c00v	87.14	-44.42	-13.12	46.32	196	g31b
c50v	72.32	-13.05	-36.63	38.89	250	g80b
v00m	35.47	64.92	-95.07	115.12	304	b28r
v50m	47.77	77.67	-74.49	107.62	316	b39r
m00o	59.01	89.33	-55.68	105.26	328	b49r
m50o	55.59	79.65	2.03	79.68	1	b79r

